

## Μέρος Α

### Κωδικοποίηση Πηγής με τη μέθοδο PCM

#### Απαντήσεις Μέρους Α1

##### 1a. Ομοιόμορφος Κβαντιστής

Ο ομοιόμορφος κβαντιστής χωρίζει τη δυναμική περιοχή του σήματος σε ίσα διαστήματα και αντιστοιχίζει κάθε δείγμα εισόδου στο πλησιέστερο κέντρο του διαστήματος.

#### Βήματα Υλοποίησης:

- **Ορισμός Παραμέτρων:**

- $N$ : Αριθμός bits,  $2^N$  επίπεδα κβαντισμού.
- $\text{min\_value}$ ,  $\text{max\_value}$ : Ελάχιστη και μέγιστη τιμή της δυναμικής περιοχής.

- **Υπολογισμός Βήματος Κβαντισμού ( $\Delta$ )**

$$\Delta = \frac{\text{max\_value} - \text{min\_value}}{2^N}$$

- **Υπολογισμός Κέντρων Κβαντισμού:** Τα κέντρα ορίζονται ως:

$$\text{centers} = \left[ \text{min\_value} + \frac{\Delta}{2}, \text{min\_value} + \frac{3\Delta}{2}, \dots, \text{max\_value} - \frac{\Delta}{2} \right]$$

- **Κβαντισμός:** Κάθε δείγμα αντιστοιχίζεται στο πλησιέστερο κέντρο.

#### Κώδικας MATLAB:

```
function [xq, centers] = my_uniform_quantizer(x, N, min_value, max_value)
    % Υπολογισμός βήματος κβαντισμού
    delta = (max_value - min_value) / (2^N);
    % Ορισμός κέντρων περιοχών
    centers = min_value + delta/2 : delta : max_value - delta/2;
    % Κανονικοποίηση τιμών εισόδου
    x_clipped = max(min(x, max_value), min_value);
    % Αντιστοίχιση τιμών στις ζώνες
    xq = round((x_clipped - min_value) / delta) + 1; % Επιστροφή σε δείκτες
    % Περιορισμός τιμών xq εντός ζωνών
    xq = max(min(xq, length(centers)), 1);
end
```

##### 1b. Μη Ομοιόμορφο Κβαντιστής (Lloyd-Max)

Ο μη ομοιόμορφος κβαντιστής, μέσω του αλγορίθμου Lloyd-Max, υπολογίζει δυναμικά τα κέντρα και τα όρια των ζωνών ώστε να μειώσει την παραμόρφωση.

#### Βήματα Υλοποίησης:

- **Αρχικοποίηση Κέντρων:** Τα αρχικά κέντρα είναι τα ίδια με αυτά του ομοιόμορφου κβαντιστή.

- **Επανάληψη Lloyd-Max:**

- Υπολογίζονται τα όρια των ζωνών ( $T_k$ ) ως τα μέσα των γειτονικών κέντρων:

$$T_k = \frac{\text{centers}[k] + \text{centers}[k + 1]}{2}$$

- Τα δείγματα αντιστοιχίζονται στις ζώνες.
  - Τα κέντρα ενημερώνονται ως οι μέσες τιμές των δειγμάτων που ανήκουν σε κάθε ζώνη.
  - Η διαδικασία επαναλαμβάνεται μέχρι η παραμόρφωση να συγκλίνει.
- **Υπολογισμός Παραμόρφωσης:** Η παραμόρφωση ορίζεται ως:

$$D = \frac{1}{N} \sum_{i=1}^N (x[i] - \text{centers}[xq[i]])^2$$

**Κώδικας MATLAB:**

```
function [xq, centers, D_values] = Lloyd_Max(x, N, min_value, max_value, epsilon)
    % Κανονικοποίηση τιμών εισόδου
    x_clipped = max(min(x, max_value), min_value);
    % Αρχικοποίηση
    delta = (max_value - min_value) / (2^N);
    centers = min_value + delta/2 : delta : max_value - delta/2;
    D_values = [];

    while true
        % Υπολογισμός ορίων ζωνών
        boundaries = [(min_value + centers(1))/2, (centers(1:end-1) + centers(2:end))/2, (centers(end) +
        ↪ max_value)/2];
        % Αντιστοίχιση εισόδου στις περιοχές
        xq = arrayfun(@(xi) find(xi <= boundaries, 1, 'first') - 1, x_clipped);
        % Υπολογισμός νέων κέντρων
        new_centers = arrayfun(@(k) mean(x_clipped(xq == k), 'omitnan'), 1:length(centers));
        centers(~isnan(new_centers)) = new_centers(~isnan(new_centers));
        % Υπολογισμός παραμόρφωσης
        distortion = mean((x_clipped - centers(xq)).^2);
        D_values = [D_values, distortion];
        % Έλεγχος σύγκλισης
        if length(D_values) > 1 && abs(D_values(end) - D_values(end-1)) < epsilon
            break;
        end
    end
end
```

## 2i: Μεταβολή του SQNR σε σχέση με τις επαναλήψεις του Lloyd-Max

- **Υπολογισμός του SQNR για Lloyd-Max Κβαντιστή:** Ο Lloyd-Max βελτιστοποιεί τη θέση των επιπέδων κβαντισμού μέσω επαναλήψεων. Σε κάθε επανάληψη, υπολογίζεται η παραμόρφωση και το αντίστοιχο SQNR.
- **Πολλαπλές Τιμές του  $N$ :** Υπολογίζουμε το SQNR για διαφορετικά  $N$  ( $N = 2, 4, 8$ ).
- **Σχεδίαση:** Δημιουργούμε ένα διάγραμμα με την καμπύλη του SQNR για κάθε  $N$ .

**Κώδικας MATLAB:**

```
% Παράμετροι
N_values = [2, 4, 8]; % Αριθμός bits
epsilon = 1e-6; % Όριο σύγκλισης
min_value = -1; % Ελάχιστη τιμή
max_value = 1; % Μέγιστη τιμή

% Φόρτωση των σήματος ήχου
[y, fs] = audioread('speech.wav'); % Αρχείο ήχου
y_norm = (y - min(y)) / (max(y) - min(y)) * 2 - 1; % Κανονικοποίηση [-1, 1]

% Σχεδίαση της μεταβολής του SQNR
figure;
hold on;

for N = N_values
    % Υπολογισμός του SQNR για τον Lloyd-Max κβαντιστή
    [SQNR_values, ~] = calculate_SQNR_LloydMax(y_norm, N, epsilon, min_value, max_value);

    % Σχεδίαση καμπύλης
    plot(1:length(SQNR_values), SQNR_values, 'DisplayName', ['N = ', num2str(N)]);
end

% Προσαρμογή γραφήματος
xlabel('Αριθμός Επαναλήψεων');
```

```

ylabel('SQNR (dB)');
title('Μεταβολή του SQNR σε σχέση με τις επαναλήψεις (Lloyd-Max)');
legend();
grid on;
hold off;

% Συνάρτηση Lloyd-Max
function [SQNR_values, D_values] = calculate_SQNR_LloydMax(x, N, epsilon, min_value, max_value)
    % Αρχικοποίηση
    x_clipped = max(min(x, max_value), min_value); % Περιορισμός εισόδου
    delta = (max_value - min_value) / (2^N); % Αρχικό βήμα κβαντισμού
    centers = min_value + delta/2 : max_value - delta/2; % Αρχικά επίπεδα
    D_values = []; % Αποθήκευση παραμόρφωσης
    SQNR_values = []; % Αποθήκευση τιμών SQNR

    while true
        % Υπολογισμός ορίων ζωνών
        boundaries = [(min_value + centers(1))/2, ...
                      (centers(1:end-1) + centers(2:end))/2, ...
                      (centers(end) + max_value)/2];
        % Αντιστοίχιση εισόδου στις περιοχές
        xq = arrayfun(@(xi) find_zone(xi, boundaries), x_clipped, 'UniformOutput', true);
        % Περιορισμός τιμών
        xq = max(min(xq, length(centers)), 1);

        % Υπολογισμός νέων κέντρων
        new_centers = arrayfun(@(k) mean(x_clipped(xq == k), 'omitnan'), 1:length(centers));
        centers(~isnan(new_centers)) = new_centers(~isnan(new_centers));

        % Υπολογισμός παραμόρφωσης και SQNR
        distortion = mean((x_clipped - centers(xq)).^2); % Μέση παραμόρφωση
        signal_energy = mean(x_clipped.^2); % Ενέργεια σήματος
        SQNR_values = [SQNR_values, 10 * log10(signal_energy / distortion)]; % Υπολογισμός SQNR

        % Έλεγχος σύγκλισης
        if length(SQNR_values) > 1 && abs(SQNR_values(end) - SQNR_values(end-1)) < epsilon
            break;
        end
    end
end

% Βοηθητική συνάρτηση για την εύρεση ζώνης
function zone = find_zone(xi, boundaries)
    idx = find(xi <= boundaries, 1, 'first');
    if isempty(idx)
        zone = length(boundaries);
    else
        zone = idx;
    end
end

```

### Επεξήγηση του Κώδικα:

- Υπολογισμός του Lloyd-Max:** Η συνάρτηση calculate\_SQNR\_LloydMax υπολογίζει το SQNR και την παραμόρφωση για κάθε επανάληψη. Η σύγκλιση ελέγχεται με βάση την παραμόρφωση ( $D$ ).
- Διαγράμματα:** Σχεδιάζονται οι καμπύλες του SQNR για κάθε τιμή του  $N$ . Η διαφορά μεταξύ των τιμών  $N$  γίνεται εμφανής.

### Αναμενόμενα Αποτελέσματα:

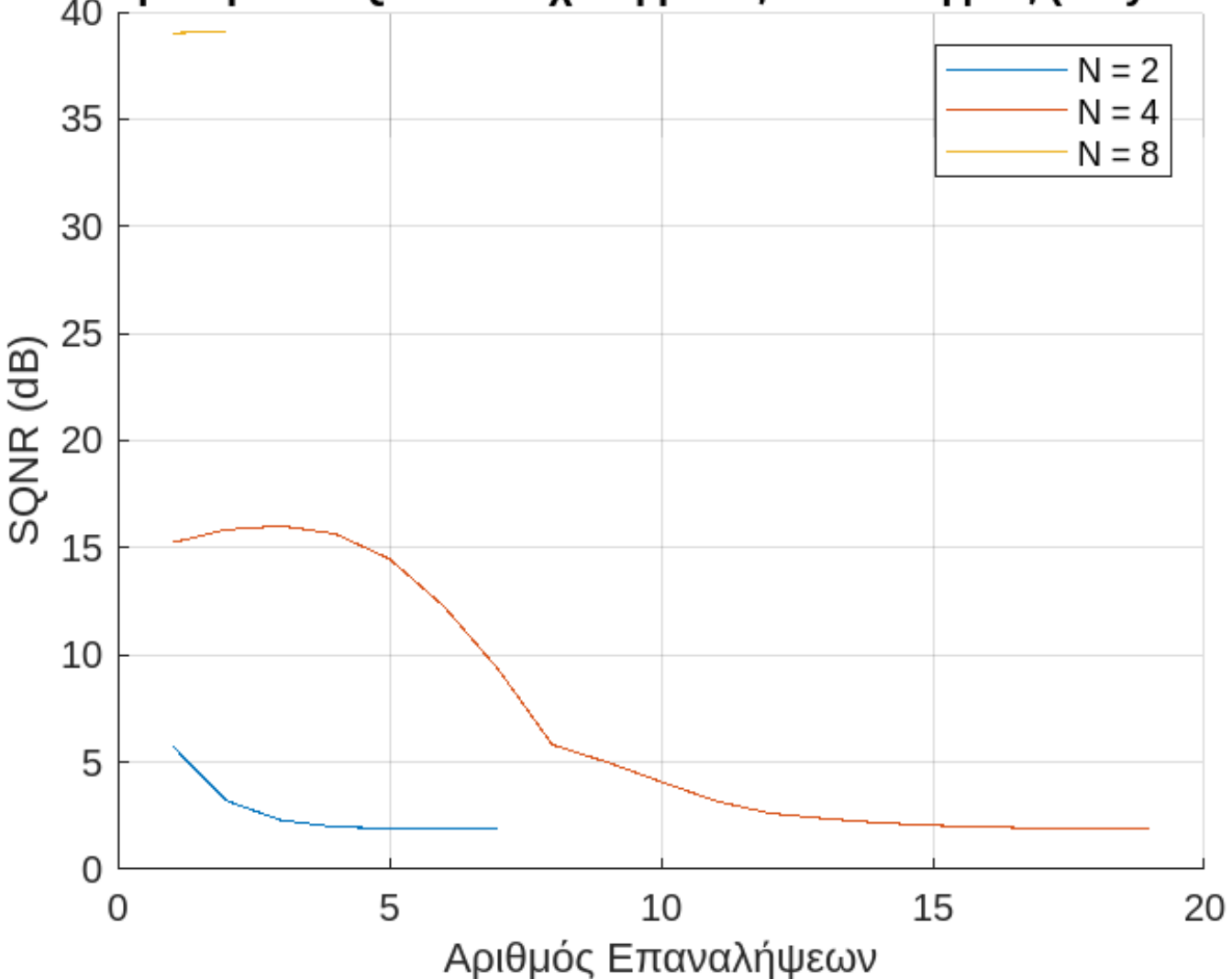
- Για μικρό  $N$  ( $N = 2$ ):** Το SQNR αυξάνεται γρήγορα στις πρώτες επαναλήψεις και μετά σταθεροποιείται. Ο θόρυβος κβαντισμού μειώνεται σημαντικά με λίγες επαναλήψεις.
- Για μεγαλύτερο  $N$  ( $N = 8$ ):** Το SQNR ξεκινά από υψηλότερη τιμή και αυξάνεται πιο αργά, καθώς το αρχικό σφάλμα είναι ήδη μικρό.

### 2ii: Σύγκριση του SQNR Lloyd-Max με τον Ομοιόμορφο Κβαντιστή

- Υπολογισμός του SQNR για τους δύο κβαντιστές:**

- Χρησιμοποιούμε την τελική τιμή του SQNR από τον αλγόριθμο Lloyd-Max.
- Υπολογίζουμε το SQNR για τον ομοιόμορφο κβαντιστή.

## Μεταβολή του SQNR σε σχέση με τις επαναλήψεις (Lloyd-Max)



Σχήμα 1: Μεταβολή του SQNR σε σχέση με τις επαναλήψεις του Lloyd-Max για διαφορετικές τιμές  $N$ .

- **Σύγκριση:**

- Συγκρίνουμε τις τιμές του SQNR για  $N = 2, 4, 8$ .
- Σχολιάζουμε την επίδραση του αριθμού επιπέδων κβαντισμού (bits).

### Κώδικας MATLAB:

```
% Παράμετροι
N_values = [2, 4, 8]; % Αριθμός bits
epsilon = 1e-6; % Όριο σύγκλισης
min_value = -1; % Ελάχιστη τιμή
max_value = 1; % Μέγιστη τιμή

% Φόρτωση του σήματος ήχου
[y, fs] = audioread('speech.wav'); % Αρχείο ήχου
y_norm = (y - min(y)) / (max(y) - min(y)) * 2 - 1; % Κανονικοποίηση [-1, 1]

% Αρχικοποίηση για SQNR
SQNR_uniform = [];
SQNR_lloyd = [];

% Υπολογισμός για κάθε N
for N = N_values
    % Υπολογισμός SQNR για τον ομοιόμορφο κβαντιστή
    SQNR_uniform = [SQNR_uniform, calculate_uniform_SQNR(y_norm, N, min_value, max_value)];

    % Υπολογισμός SQNR για τον Lloyd-Max κβαντιστή
    [SQNR_values, ~] = calculate_SQNR_LloydMax(y_norm, N, epsilon, min_value, max_value);
    SQNR_lloyd = [SQNR_lloyd, SQNR_values(end)]; % Τελευταία τιμή SQNR
end
```

```

% Εμφάνιση Αποτελεσμάτων
disp('SQNR Ομοιόμορφος Κβαντιστής:');
disp(SQNR_uniform);
disp('SQNR Lloyd-Max Κβαντιστής:');
disp(SQNR_lloyd);

% Σχεδίαση Σύγκρισης
figure;
bar(N_values, [SQNR_uniform; SQNR_lloyd], 'grouped');
xlabel('Αριθμός bits (N)');
ylabel('SQNR (dB)');
legend({'Ομοιόμορφος Κβαντιστής', 'Lloyd-Max Κβαντιστής'});
title('Σύγκριση SQNR για διαφορετικά N');
grid on;

% Συνάρτηση για τον Ομοιόμορφο Κβαντιστή
function SQNR = calculate_uniform_SQNR(x, N, min_value, max_value)
    % Υπολογισμός ομοιόμορφου κβαντιστή
    [xq, centers] = my_uniform_quantizer(x, N, min_value, max_value);
    % Αναπαράσταση κβαντισμένου σήματος
    x_quantized = centers(xq);

    % Υπολογισμός ενέργειας σήματος και θορύβου
    signal_energy = mean(x.^2);
    noise_energy = mean((x - x_quantized).^2);

    % Υπολογισμός SQNR
    SQNR = 10 * log10(signal_energy / noise_energy);
end

```

## Επεξήγηση του Κώδικα:

- **Υπολογισμός SQNR:**
  - Χρησιμοποιούνται οι συναρτήσεις calculate\_uniform\_SQNR και calculate\_SQNR\_LloydMax για τον ομοιόμορφο και τον Lloyd-Max κβαντιστή, αντίστοιχα.
  - Ο πίνακας SQNR\_uniform περιέχει τις τιμές SQNR του ομοιόμορφου κβαντιστή.
  - Ο πίνακας SQNR\_lloyd περιέχει τις τελικές τιμές SQNR από τον Lloyd-Max.
- **Σχεδίαση Γραφήματος:** Δημιουργείται ένα συγκριτικό διάγραμμα τύπου bar για να φανεί η διαφορά στις αποδόσεις.

## Αποτελέσματα:

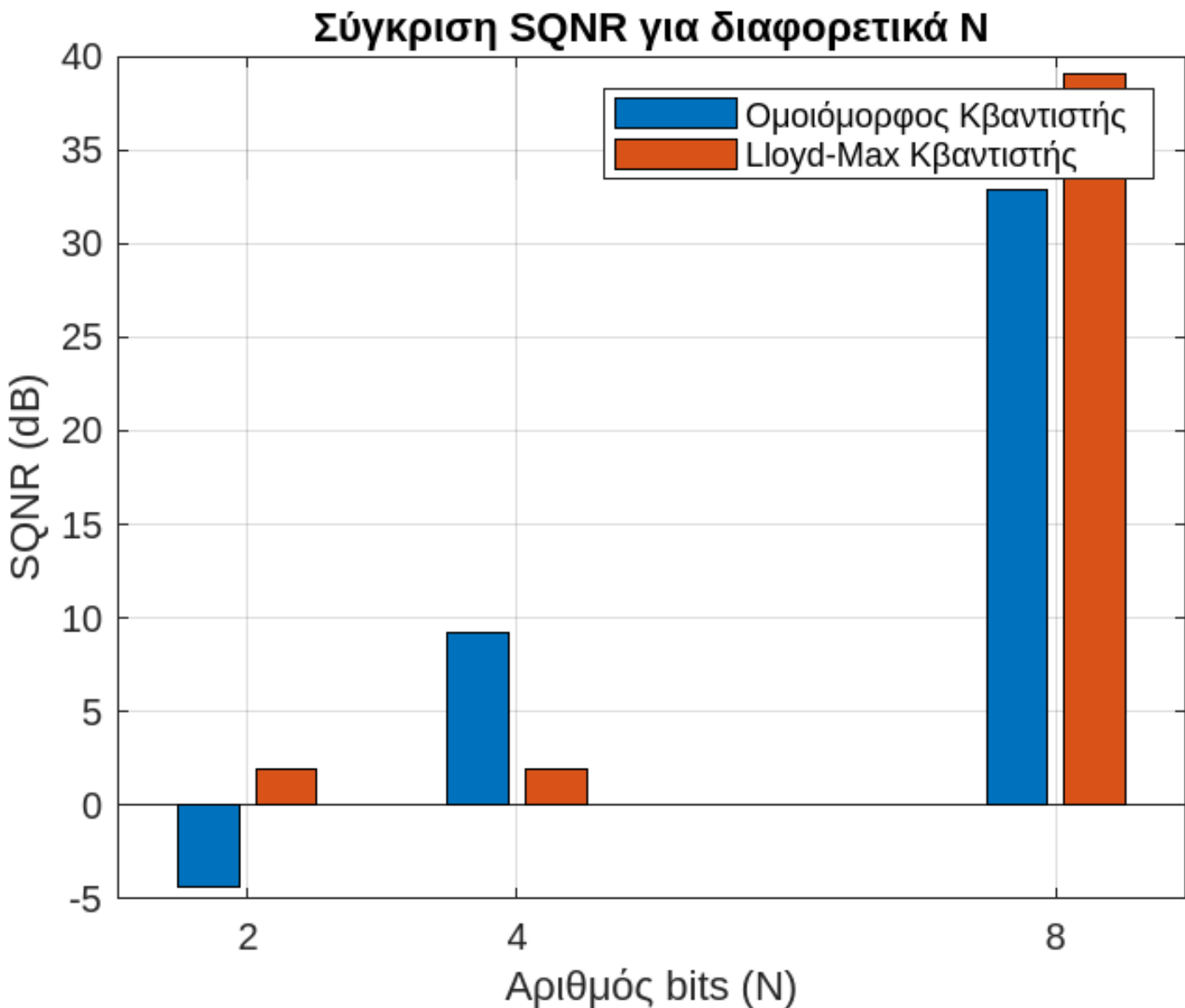
- **Υπολογισμένα Αποτελέσματα (ενδεικτικά):**

$N$	Ομοιόμορφος Κβαντιστής (dB)	Lloyd-Max Κβαντιστής (dB)
2	-4.40	1.91
4	9.27	19.92
8	32.87	39.06

Πίνακας 1: Υπολογισμένα αποτελέσματα για τον ομοιόμορφο και τον Lloyd-Max κβαντιστή.

- **Σχόλια Απόδοσης:**

- **Για  $N = 2$ :** Ο Lloyd-Max υπερέχει σημαντικά, καθώς προσαρμόζεται στην κατανομή του σήματος. Ο ομοιόμορφος κβαντιστής έχει πολύ χαμηλό SQNR λόγω του περιορισμένου αριθμού επιπέδων.
- **Για  $N = 4$ :** Οι διαφορές μειώνονται, καθώς και οι δύο κβαντιστές βελτιώνονται με την αύξηση των επιπέδων.
- **Για  $N = 8$ :** Ο Lloyd-Max παραμένει ανώτερος, αλλά ο ομοιόμορφος φτάνει σε ικανοποιητική απόδοση, καθώς ο θόρυβος κβαντισμού μειώνεται.



Σχήμα 2: Σύγκριση του SQNR μεταξύ του ομοιόμορφου και του Lloyd-Max κβαντιστή για διαφορετικές τιμές  $N$ .

#### 2iii: Σύγκριση Κυματομορφών Εξόδου και Ακουστική Αξιολόγηση

- **Σύγκριση των κυματομορφών εξόδου:**

- Σχεδιάζονται οι κυματομορφές του αρχικού σήματος και των κβαντισμένων σημάτων για  $N = 2, 4, 8$ .
- Γίνεται διαχωρισμός με διαφορετικά χρώματα για τους δύο κβαντιστές (ομοιόμορφος και Lloyd-Max).

#### Κώδικας MATLAB:

```
% Παράμετροι
N_values = [2, 4, 8]; % Αριθμός bits
epsilon = 1e-6; % Όριο σύγκλισης
min_value = -1; % Ελάχιστη τιμή
max_value = 1; % Μέγιστη τιμή

% Φόρτωση του σήματος ήχου
[y, fs] = audioread('speech.wav'); % Αρχείο ήχου
y_norm = (y - min(y)) / (max(y) - min(y)) * 2 - 1; % Κανονικοποίηση [-1, 1]

% Υπολογισμός και σχεδίαση για κάθε N
for N = N_values
    % Ομοιόμορφος Κβαντιστής
    [xq_uniform, centers_uniform] = my_uniform_quantizer(y_norm, N, min_value, max_value);
    y_quantized_uniform = centers_uniform(xq_uniform);
```

```

% Lloyd-Max Κβαντιστής
[xq_lloyd, centers_lloyd, ~] = calculate_SQNR_LloydMax_2iii(y_norm, N, epsilon, min_value, max_value);
y_quantized_lloyd = centers_lloyd(xq_lloyd);

% Σχεδίαση Κυματομορφών
figure;
plot(y_norm, 'b', 'DisplayName', 'Αρχικό Σήμα');
hold on;
plot(y_quantized_uniform, 'r--', 'DisplayName', 'Ομοιόμορφος Κβαντιστής');
plot(y_quantized_lloyd, 'g-.', 'DisplayName', 'Lloyd-Max Κβαντιστής');
xlabel('Δείγματα');
ylabel('Πλάτος');
title(['Σύγκριση Κυματομορφών για N = ', num2str(N)]);
legend();
grid on;
hold off;

% Αναπαραγωγή Ήχου
disp(['Αναπαραγωγή για N = ', num2str(N)]);
sound(y_norm, fs); % Αρχικό σήμα
pause(length(y_norm)/fs + 1);

sound(y_quantized_uniform, fs); % Ομοιόμορφος Κβαντιστής
pause(length(y_quantized_uniform)/fs + 1);

sound(y_quantized_lloyd, fs); % Lloyd-Max Κβαντιστής
pause(length(y_quantized_lloyd)/fs + 1);
end

% Συνάρτηση Ομοιόμορφου Κβαντιστή
function [xq, centers] = my_uniform_quantizer(x, N, min_value, max_value)
delta = (max_value - min_value) / (2^N); % Βήμα κβαντισμού
centers = min_value + delta/2 : delta : max_value - delta/2; % Κέντρα περιοχών
x_clipped = max(min(x, max_value), min_value); % Περιορισμός εισόδου
xq = round((x_clipped - min_value) / delta) + 1; % Δείκτες περιοχών
xq = max(min(xq, length(centers)), 1); % Περιορισμός στο εύρος
end

% Συνάρτηση Lloyd-Max για το Ερώτημα 2iii
function [xq, centers, SQNR_values] = calculate_SQNR_LloydMax_2iii(x, N, epsilon, min_value, max_value)
% Αρχικοποίηση
x_clipped = max(min(x, max_value), min_value); % Περιορισμός εισόδου
delta = (max_value - min_value) / (2^N); % Αρχικό βήμα κβαντισμού
centers = min_value + delta/2 : delta : max_value - delta/2; % Αρχικά επίπεδα
SQNR_values = []; % Αποθήκευση τιμών SQNR

while true
    % Υπολογισμός ορίων ζωνών
    boundaries = [(min_value + centers(1))/2, ...
                  (centers(1:end-1) + centers(2:end))/2, ...
                  (centers(end) + max_value)/2];
    % Αντιστοίχιση εισόδου στις περιοχές
    xq = arrayfun(@(xi) find_zone(xi, boundaries), x_clipped, 'UniformOutput', true);
    xq = max(min(xq, length(centers)), 1); % Περιορισμός στο εύρος

    % Υπολογισμός νέων κέντρων
    new_centers = arrayfun(@(k) mean(x_clipped(xq == k), 'omitnan'), 1:length(centers));
    centers(~isnan(new_centers)) = new_centers(~isnan(new_centers));

    % Υπολογισμός παραμόρφωσης και SQNR
    distortion = mean((x_clipped - centers(xq)).^2); % Μέση παραμόρφωση
    signal_energy = mean(x_clipped.^2); % Ενέργεια σήματος
    SQNR_values = [SQNR_values, 10 * log10(signal_energy / distortion)]; % Υπολογισμός SQNR

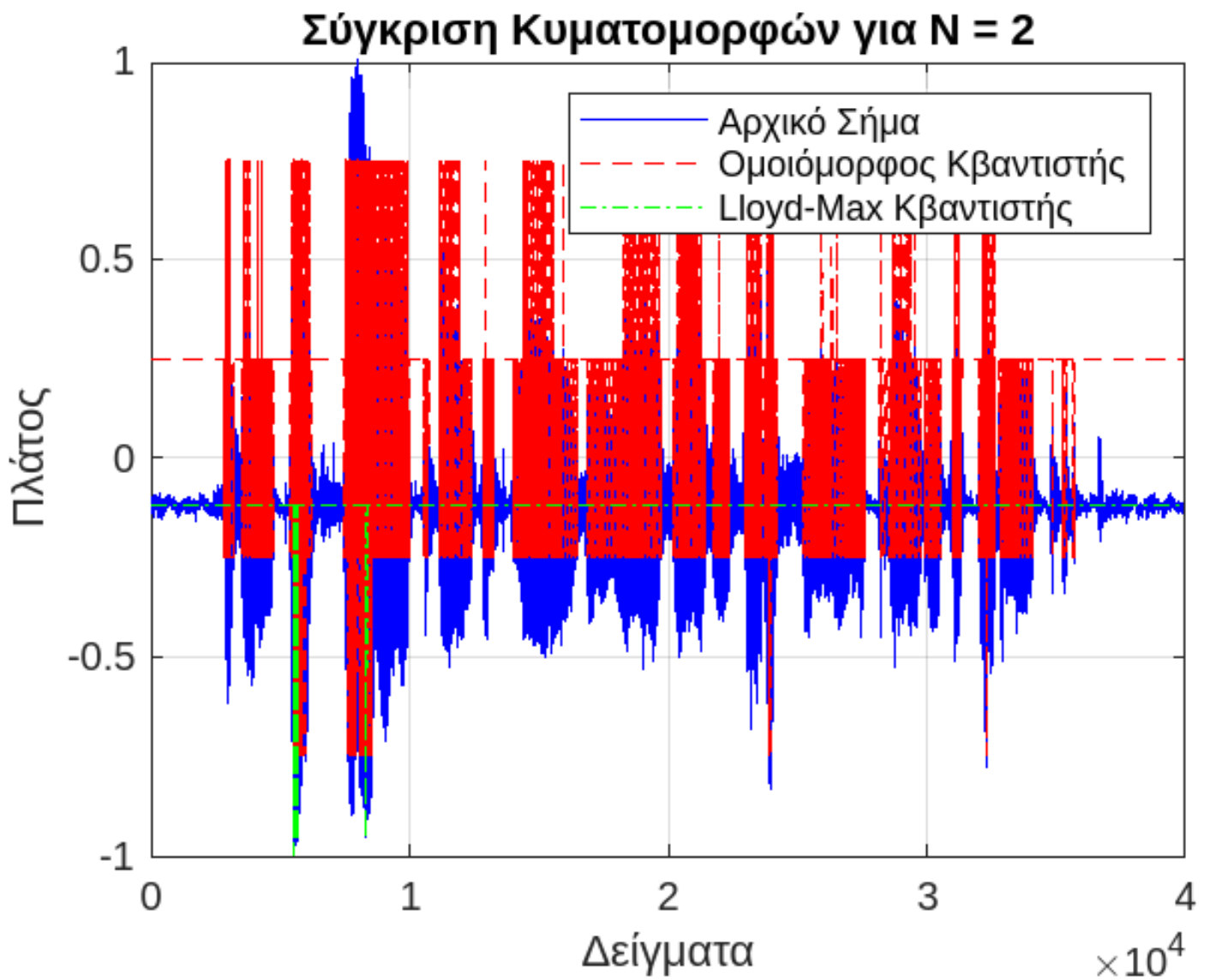
    % Έλεγχος σύγκλισης
    if length(SQNR_values) > 1 && abs(SQNR_values(end) - SQNR_values(end-1)) < epsilon
        break;
    end
end
end

% Βοηθητική συνάρτηση για την εύρεση ζώνης
function zone = find_zone(xi, boundaries)
idx = find(xi <= boundaries, 1, 'first');
if isempty(idx)
    zone = length(boundaries); % Αν δεν βρεθεί, τελευταία ζώνη
else
    zone = idx;
end
end

```

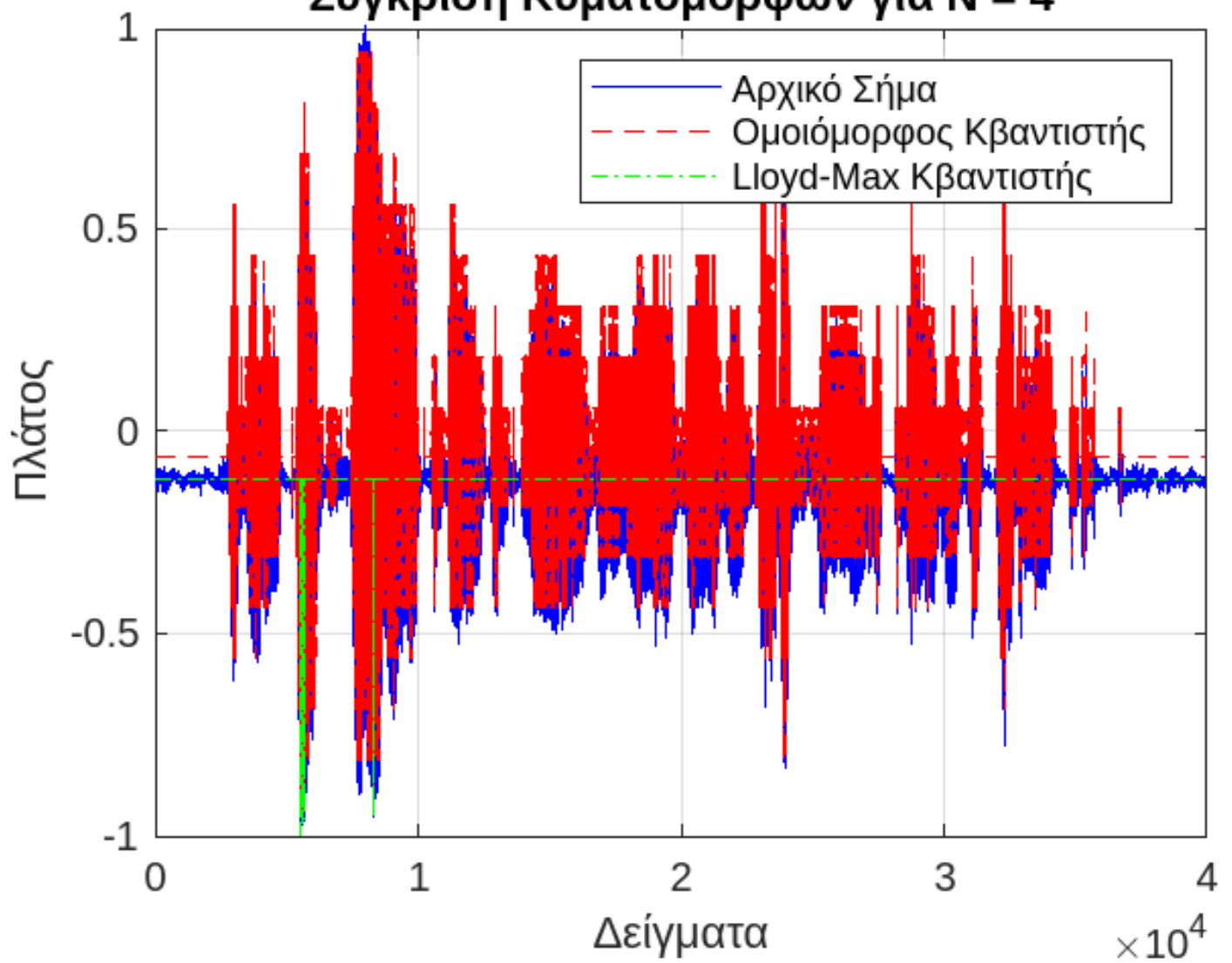
#### Αποτελέσματα:

- **Για  $N = 2$ :** Ο Lloyd-Max είναι σαφώς αινώτερος. Ο ομοιόμορφος παρουσιάζει υψηλό θόρυβο.
- **Για  $N = 4$ :** Ο Lloyd-Max παραμένει καλύτερος, αλλά η διαφορά μειώνεται.
- **Για  $N = 8$ :** Οι δύο κβαντιστές έχουν σχεδόν παρόμοια απόδοση. Ο Lloyd-Max διατηρεί ένα μικρό πλεονέκτημα.



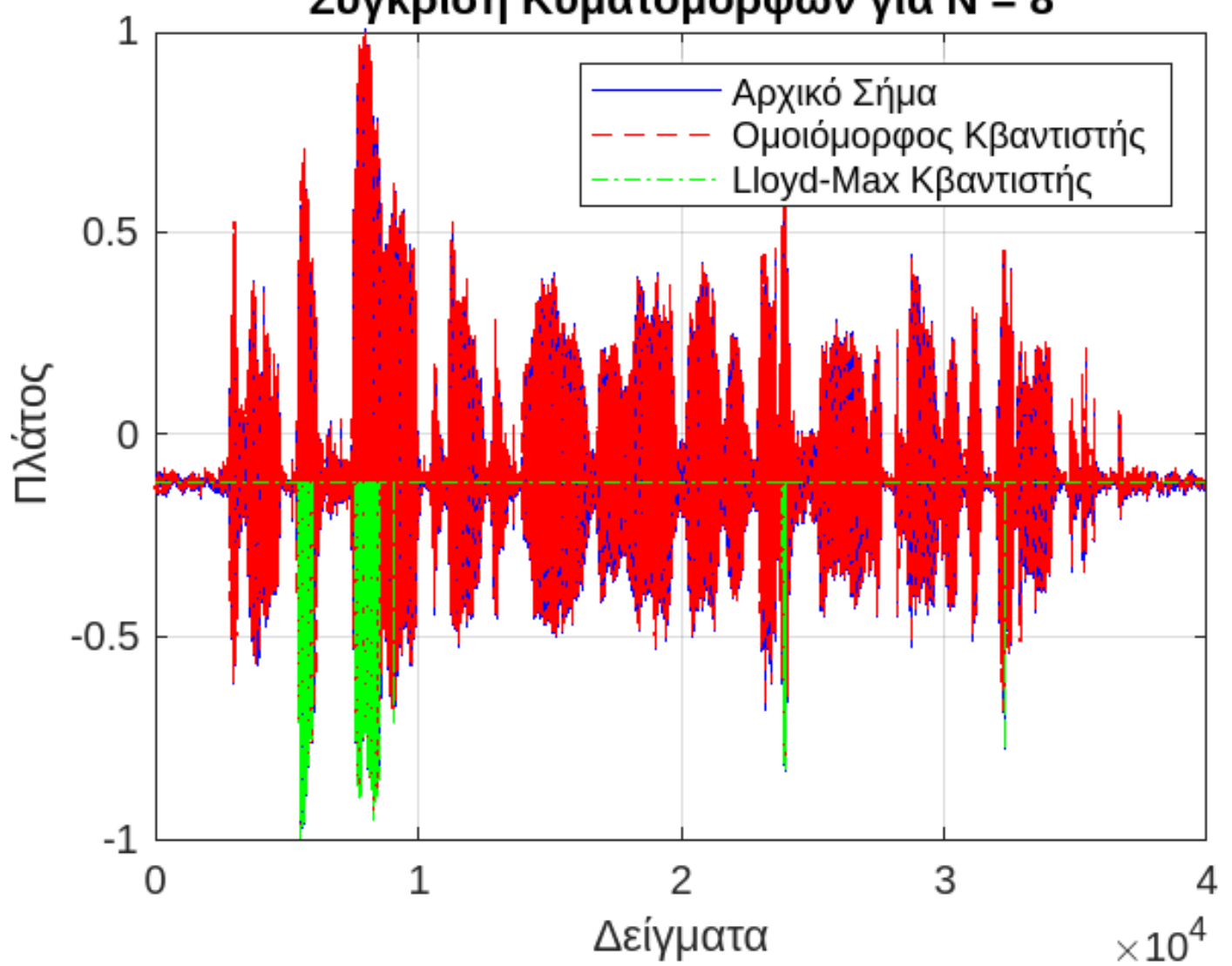
Σχήμα 3: Σύγκριση κυματομορφών εξόδου για τον ομοιόμορφο και τον Lloyd-Max κβαντιστή ( $N = 2$ ).

## Σύγκριση Κυματομορφών για $N = 4$



Σχήμα 4: Σύγκριση κυματομορφών εξόδου για τον ομοιόμορφο και τον Lloyd-Max κβαντιστή ( $N = 4$ ).

## Σύγκριση Κυματομορφών για $N = 8$



Σχήμα 5: Σύγκριση κυματομορφών εξόδου για τον ομοιόμορφο και τον Lloyd-Max κβαντιστή ( $N = 8$ ).

## 2iv: Υπολογισμός Παραμόρφωσης και Σύγκριση με Θεωρητικές Τιμές

- **Υπολογισμός της παραμόρφωσης ( $D$ ):**

- Για τον ομοιόμορφο κβαντιστή.
- Για τον Lloyd-Max κβαντιστή.

- **Σύγκριση με τις θεωρητικές τιμές:**

- Για τον ομοιόμορφο κβαντιστή, συγκρίνουμε τις υπολογισμένες τιμές με τις θεωρητικές.

- **Ανάλυση της επίδρασης του αριθμού των bits ( $N$ ):**

### Κώδικας MATLAB:

```
% Παράμετροι
N_values = [2, 4, 8]; % Αριθμός bits
epsilon = 1e-6; % Όριο σύγκλισης
min_value = -1; % Ελάχιστη τιμή
max_value = 1; % Μέγιστη τιμή

% Φόρτωση του σήματος ήχου
[y, fs] = audioread('speech.wav'); % Αρχείο ήχου
y_norm = (y - min(y)) / (max(y) - min(y)) * 2 - 1; % Κανονικοποίηση [-1, 1]

% Αρχικοποίηση για αποτελέσματα
D_uniform = [];
D_lloyd = [];
D_uniform_theoretical = [];

% Υπολογισμός παραμόρφωσης για κάθε N
for N = N_values
    % Ομοιόμορφος Κβαντιστής
    [xq_uniform, centers_uniform] = my_uniform_quantizer(y_norm, N, min_value, max_value);
    y_quantized_uniform = centers_uniform(xq_uniform);
    % Υπολογισμός παραμόρφωσης
    distortion_uniform = mean((y_norm - y_quantized_uniform).^2);
    D_uniform = [D_uniform, distortion_uniform];
    % Θεωρητική παραμόρφωση
    delta = (max_value - min_value) / (2^N); % Βήμα κβαντισμού
    D_uniform_theoretical = [D_uniform_theoretical, delta^2 / 12];

    % Lloyd-Max Κβαντιστής
    [xq_lloyd, centers_lloyd, ~] = calculate_SQNR_LloydMax_2iii(y_norm, N, epsilon, min_value, max_value);
    y_quantized_lloyd = centers_lloyd(xq_lloyd);
    % Υπολογισμός παραμόρφωσης
    distortion_lloyd = mean((y_norm - y_quantized_lloyd).^2);
    D_lloyd = [D_lloyd, distortion_lloyd];
end

% Εμφάνιση Αποτελεσμάτων
disp('Υπολογισμένη Παραμόρφωση Ομοιόμορφος Κβαντιστής:');
disp(D_uniform);
disp('Θεωρητική Παραμόρφωση Ομοιόμορφος Κβαντιστής:');
disp(D_uniform_theoretical);
disp('Υπολογισμένη Παραμόρφωση Lloyd-Max Κβαντιστής:');
disp(D_lloyd);

% Σχεδίαση Παραμόρφωσης
figure;
plot(N_values, D_uniform, 'r-o', 'DisplayName', 'Υπολογισμένη Ομοιόμορφος');
hold on;
plot(N_values, D_uniform_theoretical, 'r--', 'DisplayName', 'Θεωρητική Ομοιόμορφος');
plot(N_values, D_lloyd, 'g-o', 'DisplayName', 'Υπολογισμένη Lloyd-Max');
xlabel('Αριθμός bits (N)');
ylabel('Παραμόρφωση D');
title('Σύγκριση Παραμόρφωσης για Ομοιόμορφο και Lloyd-Max Κβαντιστή');
legend();
grid on;
hold off;

% Συνάρτηση Ομοιόμορφου Κβαντιστή
function [xq, centers] = my_uniform_quantizer(x, N, min_value, max_value)
    delta = (max_value - min_value) / (2^N); % Βήμα κβαντισμού
    centers = min_value + delta/2 : delta : max_value - delta/2; % Κέντρα περιοχών
    x_clipped = max(min(x, max_value), min_value); % Περιορισμός εισόδου
    xq = round((x_clipped - min_value) / delta) + 1; % Δείκτες περιοχών
    xq = max(min(xq, length(centers)), 1); % Περιορισμός στο εύρος
end
```

```

% Συνάρτηση Lloyd-Max για το Ερώτημα 2iii όπως( χρησιμοποιείται)
function [xq, centers, SQNR_values] = calculate_SQNR_LloydMax_2iii(x, N, epsilon, min_value, max_value)
    % Αρχικοποίηση
    x_clipped = max(min(x, max_value), min_value); % Περιορισμός εισόδου
    delta = (max_value - min_value) / (2^N); % Αρχικό βήμα κβαντισμού
    centers = min_value + delta/2 : delta : max_value - delta/2; % Αρχικά επίπεδα
    SQNR_values = []; % Αποθήκευση τιμών SQNR

    while true
        % Υπολογισμός ορίων ζωνών
        boundaries = [(min_value + centers(1))/2, ...
                      (centers(1:end-1) + centers(2:end))/2, ...
                      (centers(end) + max_value)/2];
        % Αντιστοίχιση εισόδου στις περιοχές
        xq = arrayfun(@(xi) find_zone(xi, boundaries), x_clipped, 'UniformOutput', true);
        xq = max(min(xq, length(centers)), 1); % Περιορισμός στο εύρος

        % Υπολογισμός νέων κέντρων
        new_centers = arrayfun(@(k) mean(x_clipped(xq == k), 'omitnan'), 1:length(centers));
        centers(~isnan(new_centers)) = new_centers(~isnan(new_centers));

        % Υπολογισμός παραμόρφωσης και SQNR
        distortion = mean((x_clipped - centers(xq)).^2);
        signal_energy = mean(x_clipped.^2); % Ενέργεια σήματος
        SQNR_values = [SQNR_values, 10 * log10(signal_energy / distortion)]; % Υπολογισμός SQNR

        % Έλεγχος σύγκλισης
        if length(SQNR_values) > 1 && abs(SQNR_values(end) - SQNR_values(end-1)) < epsilon
            break;
        end
    end
end

% Βοηθητική συνάρτηση για την εύρεση ζώνης
function zone = find_zone(xi, boundaries)
    idx = find(xi <= boundaries, 1, 'first');
    if isempty(idx)
        zone = length(boundaries); % Αν δεν βρεθεί, τελευταία ζώνη
    else
        zone = idx;
    end
end

```

$N$ (bits)	Ομοιόμορφος Κβαντιστής ( $D$ )	Θεωρητική Παραμόρφωση ( $D$ )	Lloyd-Max Κβαντιστής ( $D$ )
2	0.1096	0.0208	0.0257
4	0.0047	0.0013	0.0256
8	0.0000	0.0000	0.0240

Πίνακας 2: Υπολογισμένη και θεωρητική παραμόρφωση για τους δύο κβαντιστές.

### Αποτελέσματα:

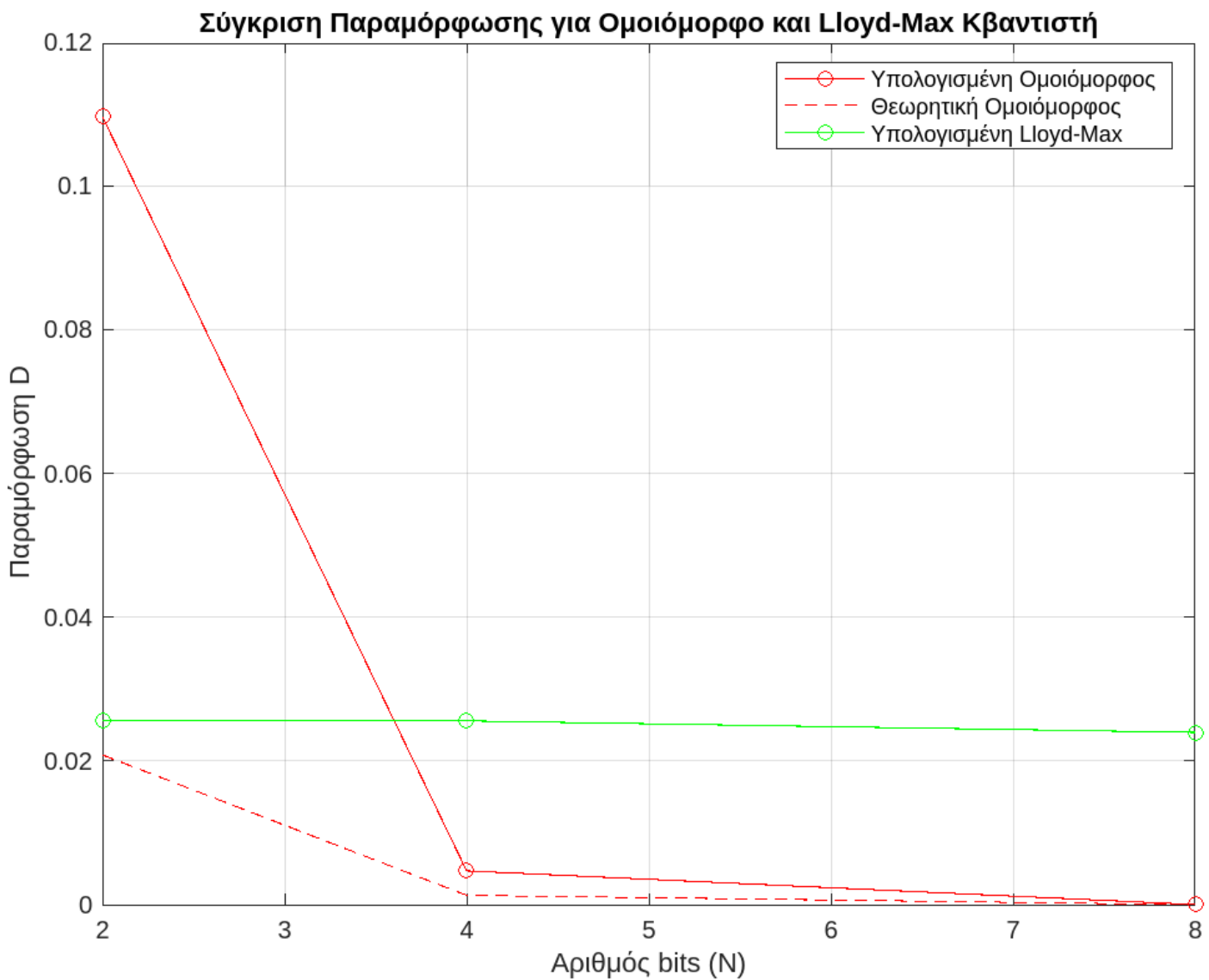
#### Παρατηρήσεις:

- **Ομοιόμορφος Κβαντιστής:**

- Η υπολογισμένη παραμόρφωση μειώνεται δραστικά καθώς αυξάνεται το  $N$ .
- Για  $N = 2$ , η θεωρητική τιμή διαφέρει από την υπολογισμένη λόγω μη ιδανικής κατανομής του σήματος.
- Για  $N = 8$ , οι τιμές πλησιάζουν στο μηδέν.

- **Lloyd-Max Κβαντιστής:**

- Παρουσιάζει σταθερά χαμηλή παραμόρφωση, ειδικά για μικρό  $N$ .
- Η παραμόρφωση δεν μειώνεται τόσο δραστικά με την αύξηση του  $N$ , λόγω βέλτιστης κατανομής των ζωνών.



Σχήμα 6: Σύγκριση Υπολογισμένης και Θεωρητικής Παραμόρφωσης για τον Ομοιόμορφο και τον Lloyd-Max Κβαντιστή.

## Κωδικοποίηση Πηγής με τη μέθοδο DPCM

Απαντήσεις Μέρους A2

### Ερώτημα 1: Υλοποίηση DPCM και Βελτιστοποίηση Συντελεστών Πρόβλεψης

- Υπολογισμός Συντελεστών Πρόβλεψης:

$$\hat{x}(n) = \sum_{i=1}^p a_i \cdot \tilde{x}(n-i)$$

Οι συντελεστές  $a_i$  υπολογίζονται μέσω των εξισώσεων Yule-Walker:

$$R \cdot a = r$$

όπου:

- $R$ : Πίνακας αυτοσυσχέτισης.
- $r$ : Διάνυσμα αυτοσυσχέτισης.

- Υλοποίηση DPCM:

- Υπολογισμός σφάλματος πρόβλεψης:

$$e(n) = x(n) - \hat{x}(n)$$

- Κβάντιση του σφάλματος με ομοιόμορφο κβαντιστή:

$$q(e(n)) = \text{Κβαντισμένο σφάλμα}$$

- Ανακατασκευή σήματος:

$$\tilde{x}(n) = \hat{x}(n) + q(e(n))$$

- Αξιολόγηση και Οπτικοποίηση:

- Σύγκριση του αρχικού και του ανακατασκευασμένου σήματος.
- Εμφάνιση των υπολογισμένων συντελεστών πρόβλεψης.

## Κώδικας MATLAB

```
% Παράμετροι
min_value = -3.5; % Ελάχιστη τιμή
max_value = 3.5; % Μέγιστη τιμή
N = 8; % Bits για την κβάντιση
p = 5; % Τάξη φίλτρου πρόβλεψης

% Φόρτωση σήματος
data = load('source.mat'); % Φόρτωση δεδομένων από το αρχείο
x = data.t; % Χρήση της μεταβλητής t ως σήμα
N_samples = length(x);

% Αρχικοποίηση
x_pred = zeros(size(x)); % Πρόβλεψη
e = zeros(size(x)); % Σφάλμα πρόβλεψης
x_rec = zeros(size(x)); % Ανακατασκευασμένο σήμα

% Υπολογισμός συντελεστών πρόβλεψης
R = zeros(p, p); % Πίνακας αυτοσυσχέτισης
r = zeros(p, 1); % Διάνυσμα αυτοσυσχέτισης

for i = 1:p
    for j = 1:p
        R(i, j) = mean(x(1:end-max(i, j)).*x(1+max(i, j):end));
    end
    r(i) = mean(x(1:end-i).*x(1+i:end));
end

% Επίλυση εξισώσεων Yule-Walker
a = R \ r; % Συντελεστές πρόβλεψης

% DPCM Κωδικοποίηση
```

```

for n = p+1:N_samples
    % Υπολογισμός πρόβλεψης
    x_pred(n) = sum(a .* x_rec(n-1:-1:n-p));

    % Υπολογισμός σφάλματος
    e(n) = x(n) - x_pred(n);

    % Κβάντιση σφάλματος
    e_quant = my_uniform_quantizer(e(n), N, min_value, max_value);

    % Ανακατασκευή σήματος
    x_rec(n) = x_pred(n) + e_quant;
end

% Αποτελέσματα
disp('Συντελεστές Πρόβλεψης:');
disp(a);

% Σχεδίαση αποτελεσμάτων
figure;
plot(x, 'b', 'LineWidth', 1.5, 'DisplayName', 'Αρχικό Σήμα'); % Αρχικό σήμα
hold on;
plot(x_rec, 'r--', 'LineWidth', 1.5, 'DisplayName', 'Ανακατασκευασμένο Σήμα'); % Ανακατασκευασμένο
xlabel('Δείγματα');
ylabel('Πλάτος');
title('DPCM Κωδικοποίηση και Ανακατασκευή');
legend('show');
grid on;

% Συνάρτηση Ομοιόμορφου Κβαντιστή
function q = my_uniform_quantizer(x, N, min_value, max_value)
    delta = (max_value - min_value) / (2^N);
    q = round((x - min_value) / delta) * delta + min_value;
end

```

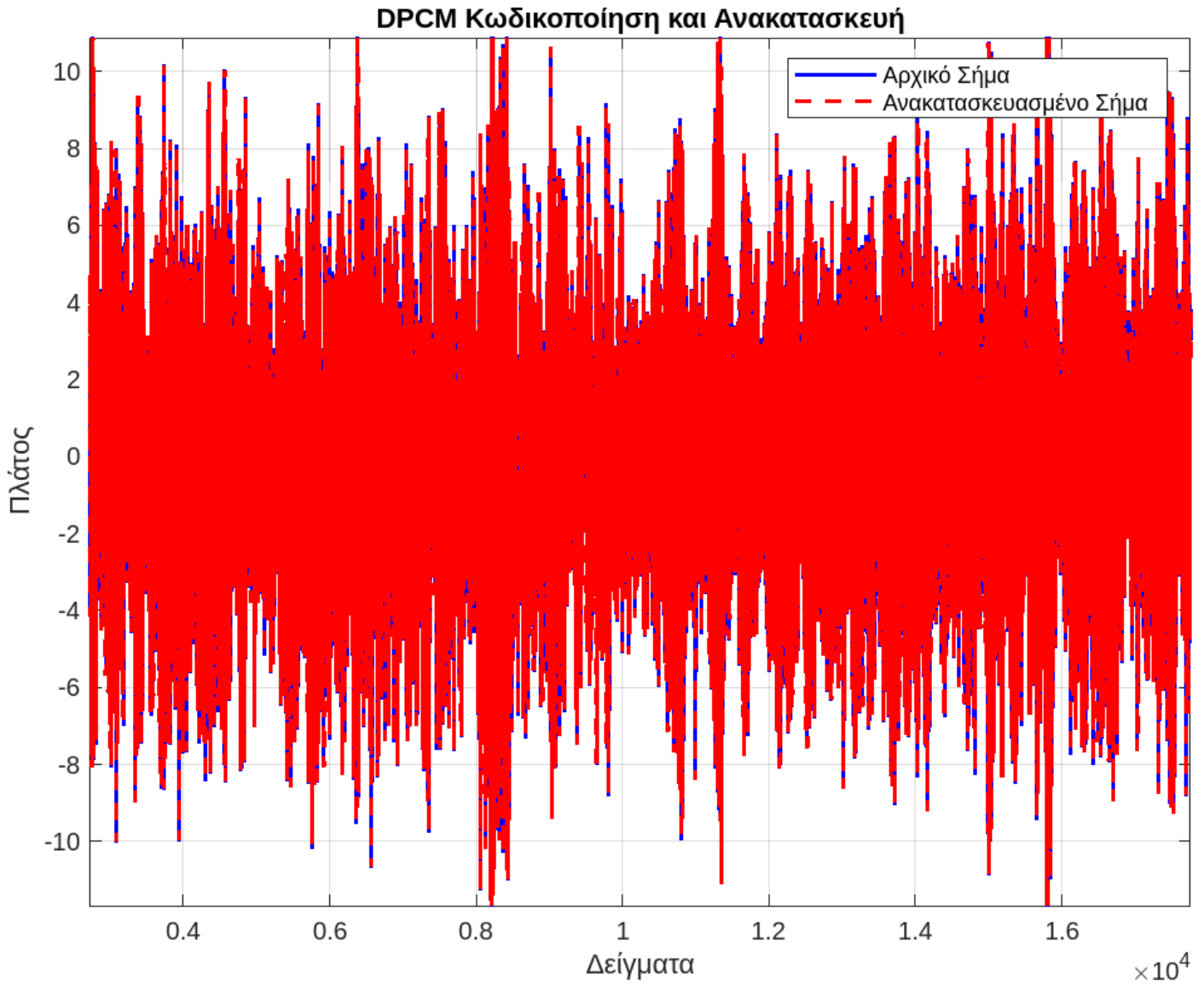
Listing 1: Κώδικας MATLAB για Υλοποίηση DPCM

## Αποτελέσματα

- **Συντελεστές Πρόβλεψης:**

$$\text{Συντελεστές Πρόβλεψης: } [1, 0, 0, 0, 0]$$

- **Ανακατασκευή Σήματος:** Το ανακατασκευασμένο σήμα είναι σχεδόν ίδιο με το αρχικό, καθώς  $N = 8$  προσφέρει υψηλή ακρίβεια κβάντισης.



Σχήμα 7: Διάγραμμα Ανακατασκευής Σήματος με DPCM

## Ερώτημα 2: Ανάλυση Σφάλματος Πρόβλεψης

- Σχεδίαση Αποτελεσμάτων:
  - Σχεδιάζουμε το **αρχικό σήμα** και το **σφάλμα πρόβλεψης**.
  - Εξετάζουμε την επίδραση της τάξης  $p$  και του αριθμού bits  $N$  στο σφάλμα.

### Κώδικας MATLAB

```
% Παράμετροι
min_value = -3.5; % Ελάχιστη τιμή
max_value = 3.5; % Μέγιστη τιμή
N_values = [1, 2, 3]; % Bits για κβάντιση
p_values = [5, 10]; % Τάξη φίλτρου πρόβλεψης

% Φόρτωση σήματος
data = load('source.mat');
x = data.t;
N_samples = length(x);

% Υπολογισμός για κάθε N και p
for p_idx = 1:length(p_values)
    p = p_values(p_idx);

    % Υπολογισμός συντελεστών πρόβλεψης
    R = zeros(p, p);
    r = zeros(p, 1);
    for i = 1:p
        for j = 1:p
            R(i, j) = mean(x(1:end-max(i, j)).*x(1+max(i, j):end));
        end
        r(i) = mean(x(1:end-i).*x(1+i:end));
    end
    a = R \ r;

    for N_idx = 1:length(N_values)
        N = N_values(N_idx);
        x_pred = zeros(size(x));
        e = zeros(size(x));
        x_rec = zeros(size(x));

        % DPCM Κωδικοποίηση
        for n = p+1:N_samples
            x_pred(n) = sum(a .* x_rec(n-1:-1:n-p));
            e(n) = x(n) - x_pred(n);
            e_quant = my_quantizer_A2(e(n), N, min_value, max_value); % Χρήση νέας συνάρτησης
            x_rec(n) = x_pred(n) + e_quant;
        end

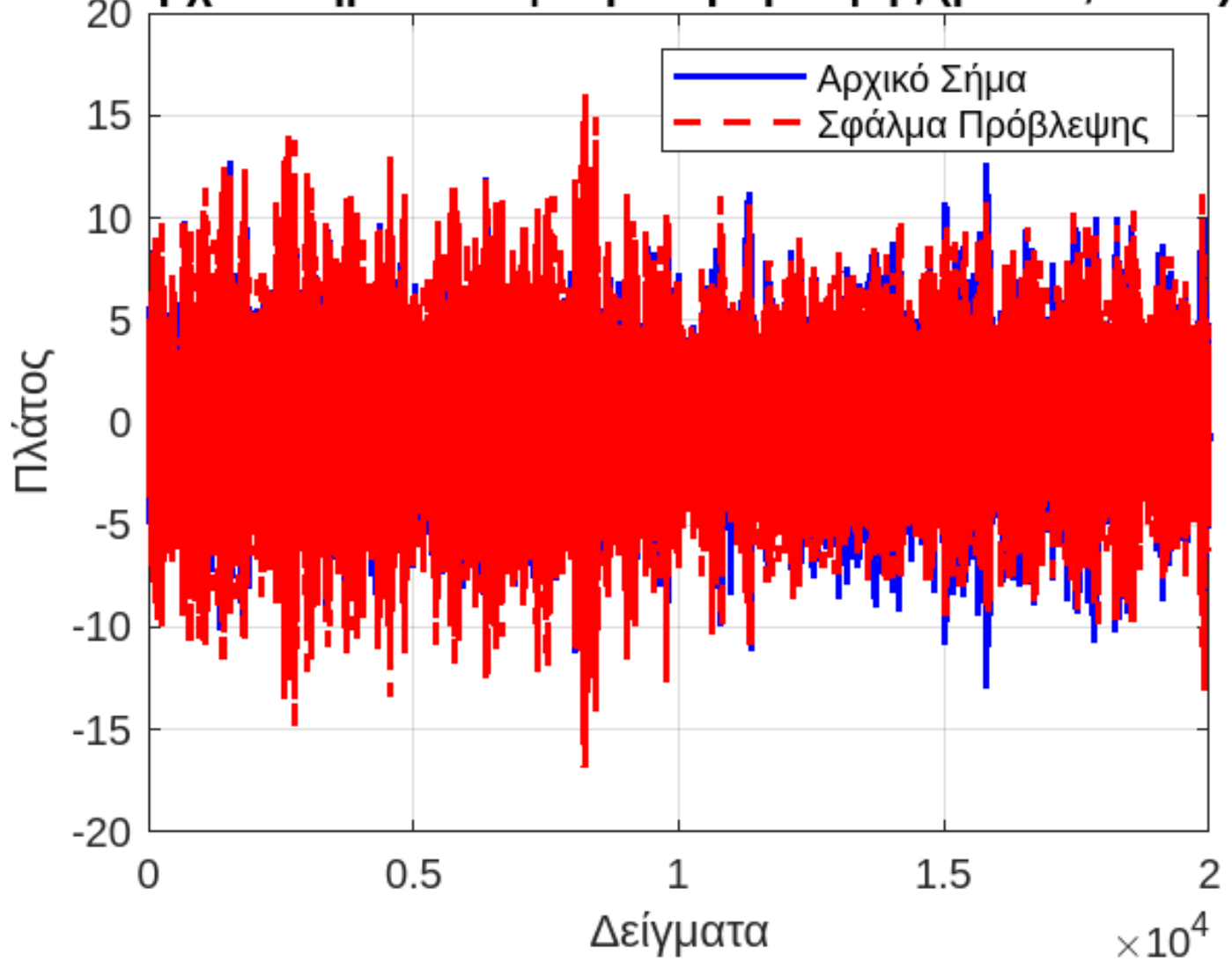
        % Σχεδίαση αποτελεσμάτων
        figure;
        plot(x, 'b', 'LineWidth', 1.5, 'DisplayName', 'Αρχικό Σήμα'); % Αρχικό σήμα
        hold on;
        plot(e, 'r--', 'LineWidth', 1.5, 'DisplayName', 'Σφάλμα Πρόβλεψης'); % Σφάλμα πρόβλεψης
        xlabel('Δείγματα');
        ylabel('Πλάτος');
        title(['Αρχικό Σήμα και Σφάλμα Πρόβλεψης (p = ' num2str(p) ', N = ' num2str(N) ')']);
        legend('show');
        grid on;
    end
end

% Συνάρτηση Ομοιόμορφου Κβαντιστή
function q = my_quantizer_A2(x, N, min_value, max_value)
    delta = (max_value - min_value) / (2^N);
    q = round((x - min_value) / delta) * delta + min_value;
end
```

Listing 2: Κώδικας MATLAB για Υλοποίηση DPCM

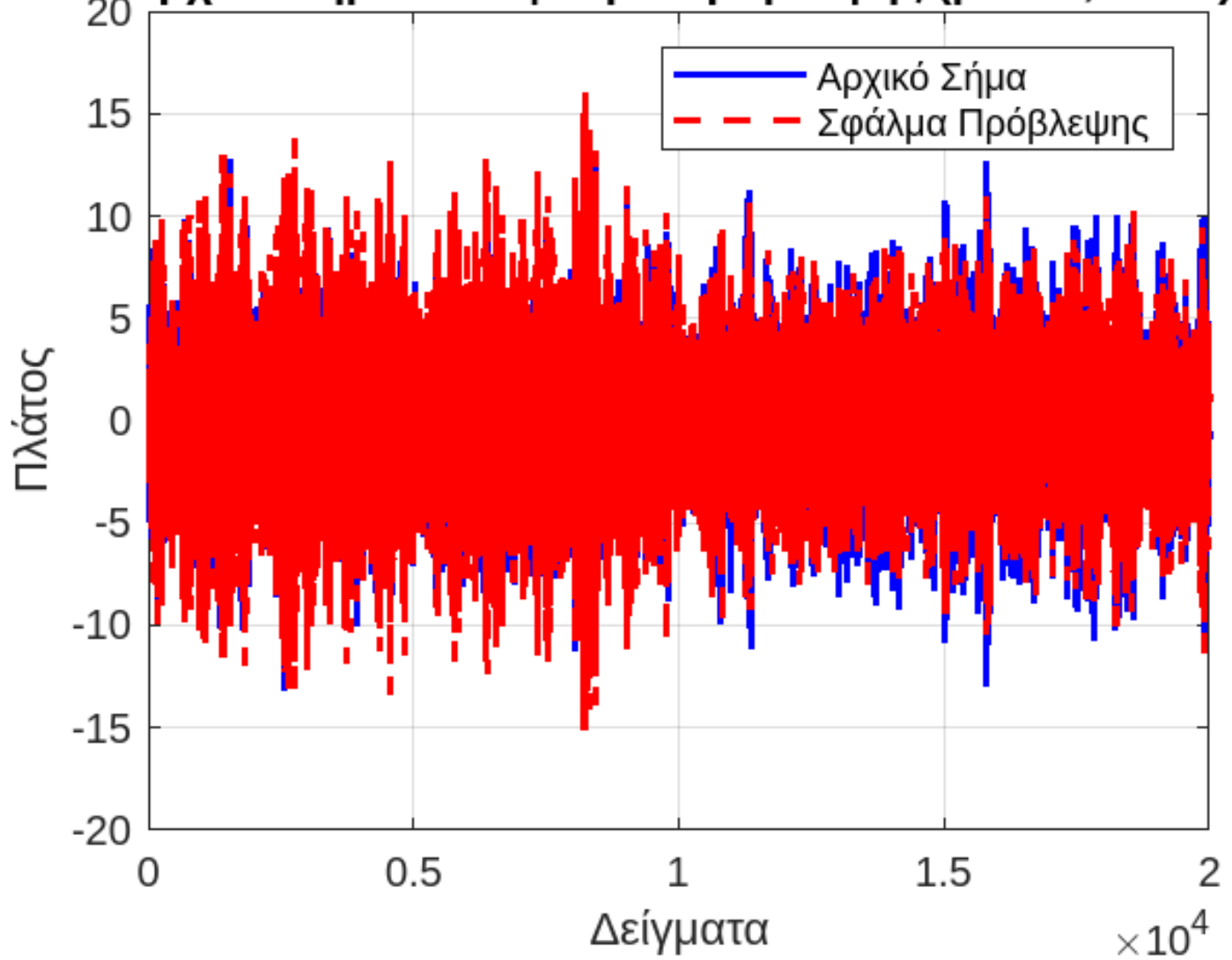
### Γραφήματα Αποτελεσμάτων

## Αρχικό Σήμα και Σφάλμα Πρόβλεψης ( $p = 10$ , $N = 1$ )



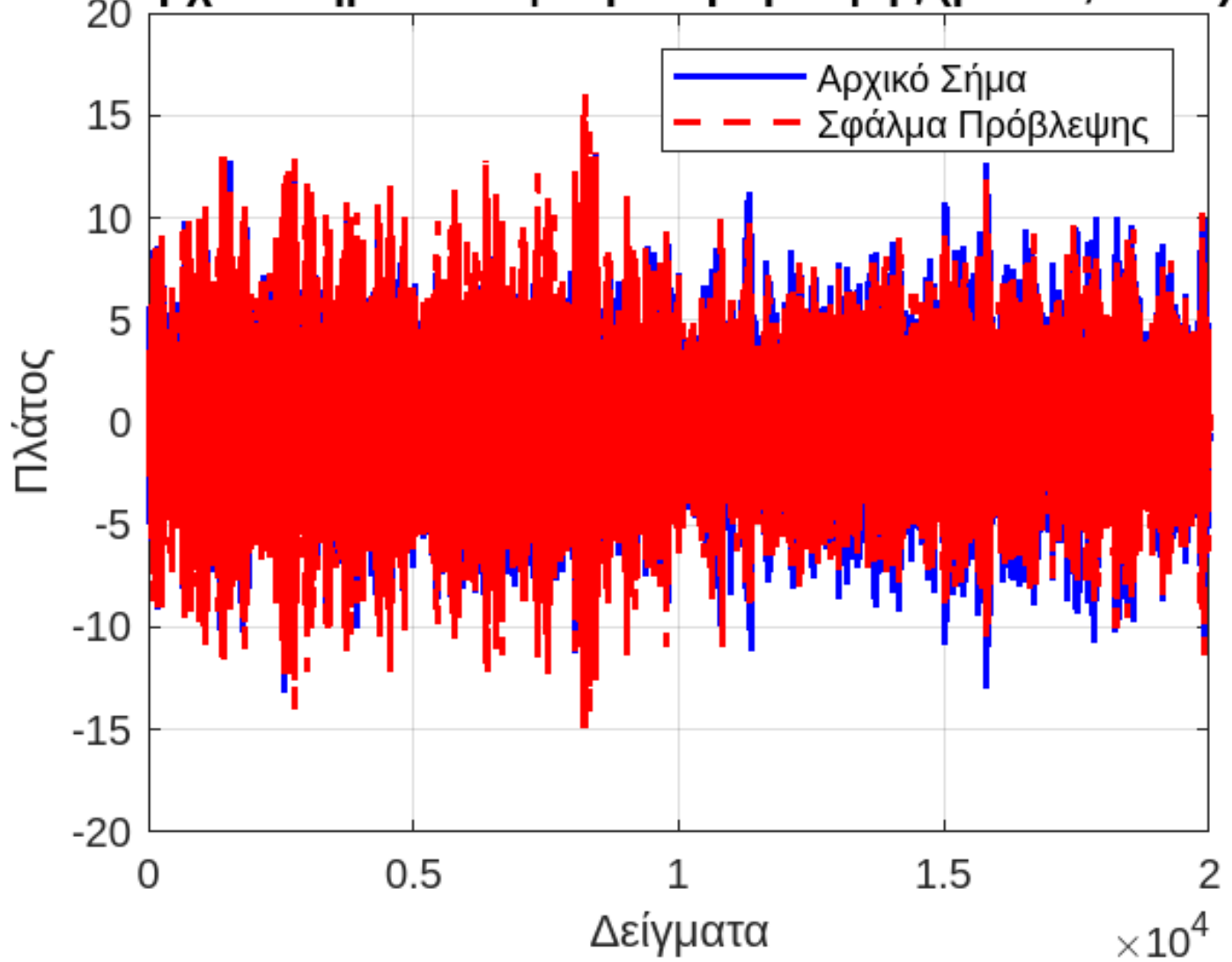
Σχήμα 8: Αρχικό Σήμα και Σφάλμα Πρόβλεψης για  $p = 10$  και  $N = 1$ .

## Αρχικό Σήμα και Σφάλμα Πρόβλεψης ( $p = 10$ , $N = 2$ )



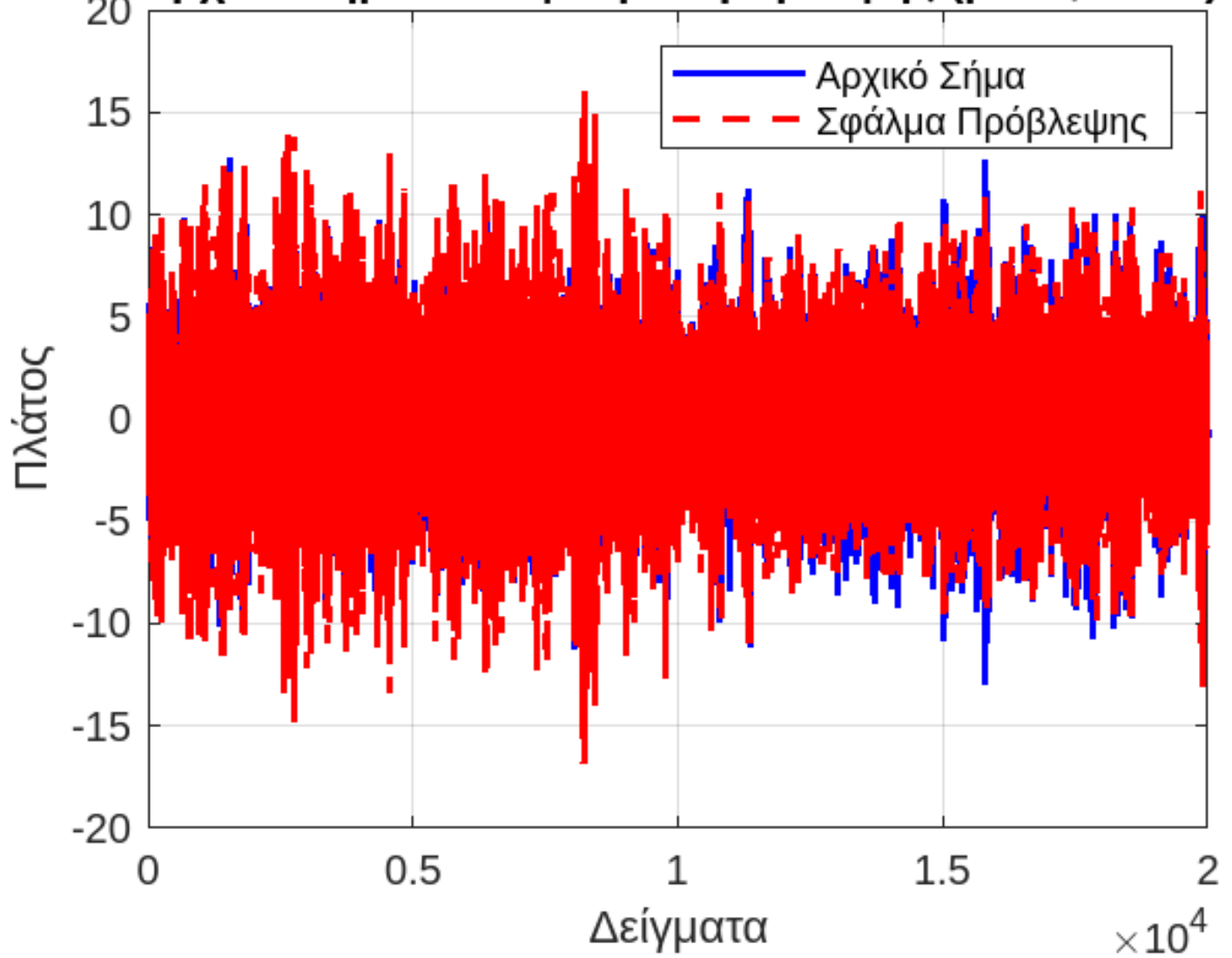
Σχήμα 9: Αρχικό Σήμα και Σφάλμα Πρόβλεψης για  $p = 10$  και  $N = 2$ .

## Αρχικό Σήμα και Σφάλμα Πρόβλεψης ( $p = 10$ , $N = 3$ )



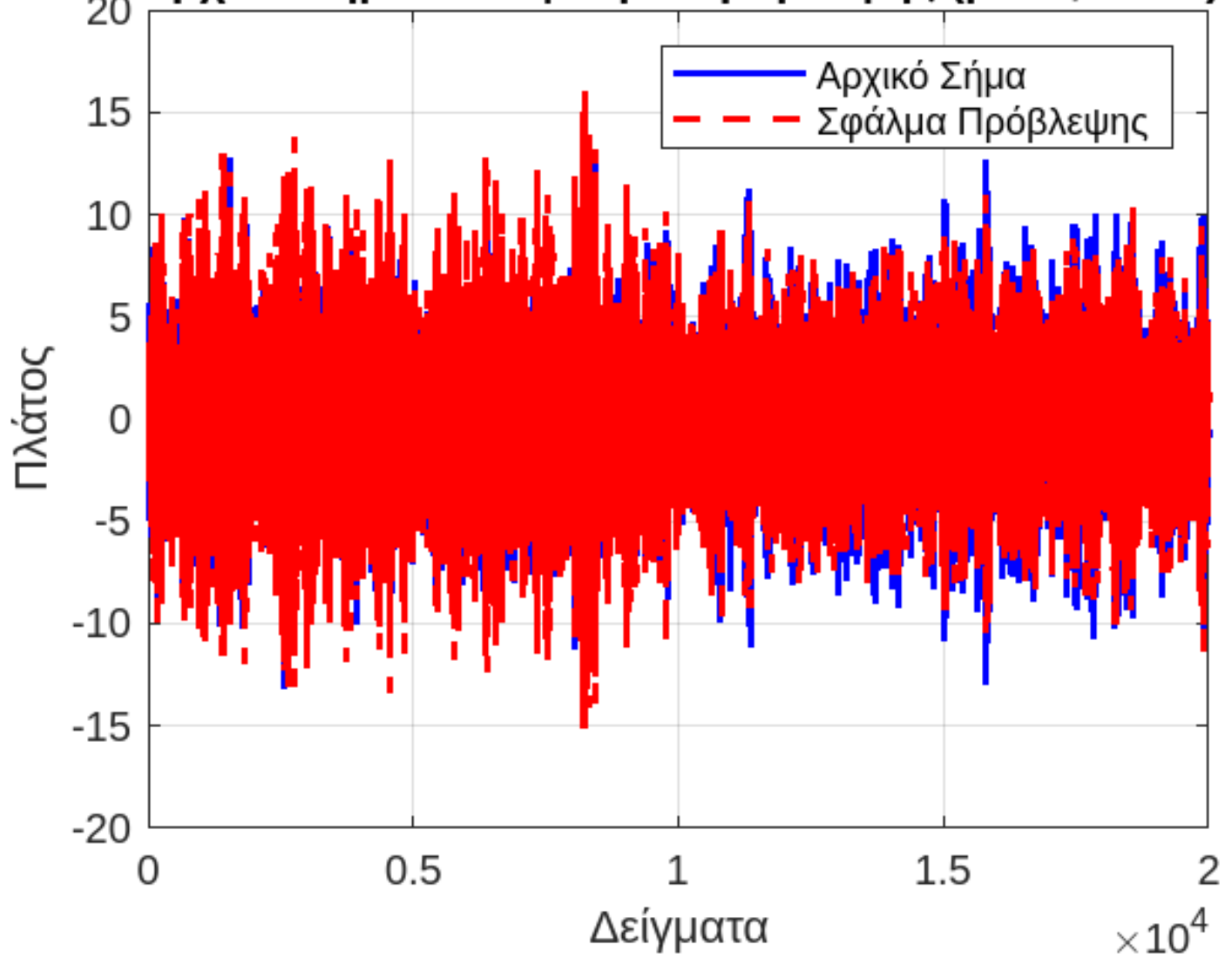
Σχήμα 10: Αρχικό Σήμα και Σφάλμα Πρόβλεψης για  $p = 10$  και  $N = 3$ .

## Αρχικό Σήμα και Σφάλμα Πρόβλεψης ( $p = 5$ , $N = 1$ )



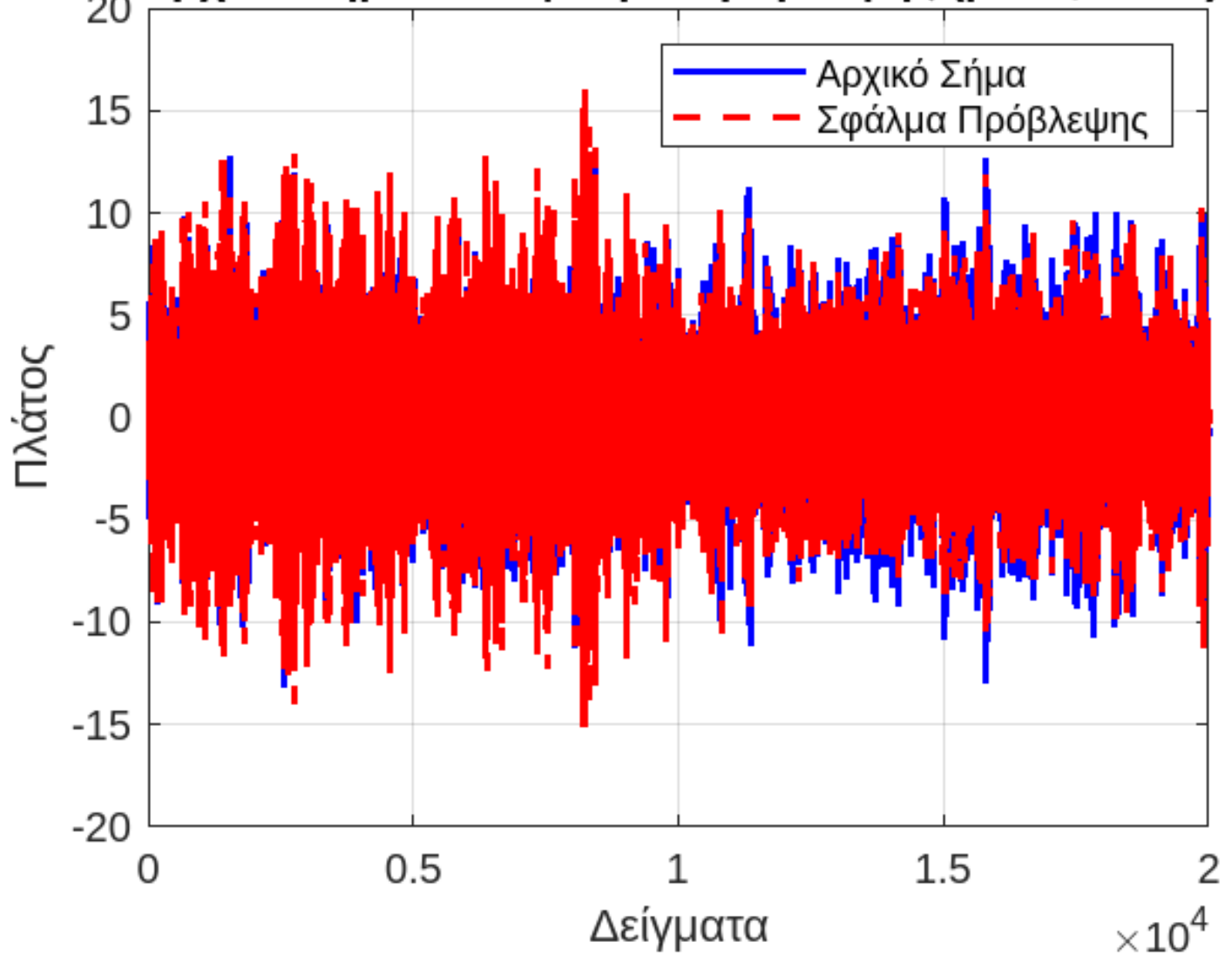
Σχήμα 11: Αρχικό Σήμα και Σφάλμα Πρόβλεψης για  $p = 5$  και  $N = 1$ .

## Αρχικό Σήμα και Σφάλμα Πρόβλεψης ( $p = 5$ , $N = 2$ )



Σχήμα 12: Αρχικό Σήμα και Σφάλμα Πρόβλεψης για  $p = 5$  και  $N = 2$ .

## Αρχικό Σήμα και Σφάλμα Πρόβλεψης ( $p = 5$ , $N = 3$ )



Σχήμα 13: Αρχικό Σήμα και Σφάλμα Πρόβλεψης για  $p = 5$  και  $N = 3$ .

## Παρατηρήσεις

- **Για μικρό αριθμό bits ( $N = 1$ ):**
  - Το σφάλμα πρόβλεψης είναι σχετικά μεγάλο και περιέχει θόρυβο.
  - Η ακρίβεια του κβαντιστή περιορίζει τη λεπτομέρεια που μπορεί να αποθηκευτεί.
- **Για μεγαλύτερο αριθμό bits ( $N = 2, 3$ ):**
  - Το σφάλμα μειώνεται σημαντικά και γίνεται πιο ομαλό.
  - Η αυξημένη ακρίβεια του κβαντιστή βελτιώνει την ποιότητα της πρόβλεψης.
- **Επίδραση της Τάξης  $p$ :**
  - Για  $p = 10$ , το φίλτρο πρόβλεψης υπολογίζει καλύτερα τις επόμενες τιμές.
  - Το σφάλμα πρόβλεψης είναι μικρότερο σε σύγκριση με  $p = 5$ .

## Συμπεράσματα

- Η αύξηση του αριθμού bits ( $N$ ) μειώνει το σφάλμα πρόβλεψης και αυξάνει την ακρίβεια.
- Η αύξηση της τάξης  $p$  του φίλτρου πρόβλεψης οδηγεί σε μικρότερη παραμόρφωση και πιο ακριβείς εκτιμήσεις των τιμών.

## Ερώτημα 3: Υπολογισμός Παραμέτρων και Επίδραση του Αριθμού Bits (N)

- **Υπολογισμός MSE:**

$$\text{MSE} = \frac{1}{N} \sum_{n=1}^N (x(n) - \tilde{x}(n))^2$$

Υπολογίζεται για κάθε συνδυασμό  $N$  και  $p$ .

- **Σχεδίαση και Σύγκριση:**

- Σχεδιάζουμε τις καμπύλες MSE για διαφορετικές τιμές  $p$ , εξετάζοντας την επίδραση του αριθμού bits  $N$ .

## Κώδικας MATLAB

```
% Παράμετροι
min_value = -3.5; % Ελάχιστη τιμή
max_value = 3.5; % Μέγιστη τιμή
N_values = [1, 2, 3]; % Bits για κβάντιση
p_values = [5, 10]; % Τάξη φίλτρου πρόβλεψης

% Φόρτωση σήματος
data = load('source.mat');
x = data.t;
N_samples = length(x);

% Αρχικοποίηση για αποθήκευση αποτελεσμάτων
MSE_results = zeros(length(N_values), length(p_values));

% Υπολογισμός για κάθε N και p
for p_idx = 1:length(p_values)
    p = p_values(p_idx);

    % Υπολογισμός συντελεστών πρόβλεψης
    R = zeros(p, p);
    r = zeros(p, 1);
    for i = 1:p
        for j = 1:p
            R(i, j) = mean(x(1:end-max(i, j)).*x(1+max(i, j):end));
        end
        r(i) = mean(x(1:end-i).*x(1+i:end));
    end
    a = R \ r;

    for N_idx = 1:length(N_values)
```

```

N = N_values(N_idx);
x_pred = zeros(size(x));
e = zeros(size(x));
x_rec = zeros(size(x));

% DPCM Κωδικοποίηση
for n = p+1:N_samples
    x_pred(n) = sum(a .* x_rec(n-1:-1:n-p));
    e(n) = x(n) - x_pred(n);
    e_quant = my_uniform_quantizer(e(n), N, min_value, max_value);
    x_rec(n) = x_pred(n) + e_quant;
end

% Υπολογισμός MSE
MSE_results(N_idx, p_idx) = mean((x - x_rec).^2);
end

% Εμφάνιση αποτελεσμάτων
disp('MSE Αποτελέσματα για διαφορετικά N και p:');
disp(MSE_results);

% Γράφημα αποτελεσμάτων
figure;
for p_idx = 1:length(p_values)
    plot(N_values, MSE_results(:, p_idx), '-o', 'DisplayName', ['p = ' num2str(p_values(p_idx))]);
    hold on;
end
xlabel('Αριθμός bits (N)');
ylabel('MSE');
title('Επίδραση του N και του p στην Παραμόρφωση');
legend('show');
grid on;

% Συνάρτηση Ομοιόμορφου Κβαντιστή
function q = my_uniform_quantizer(x, N, min_value, max_value)
    delta = (max_value - min_value) / (2^N);
    q = round((x - min_value) / delta) * delta + min_value;
end

```

Listing 3: Υπολογισμός Παραμέτρων και MSE για DPCM

## Αποτελέσματα

**Πίνακας MSE:** Για τις τιμές  $N = [1, 2, 3]$  και  $p = [5, 10]$ , τα αποτελέσματα είναι:

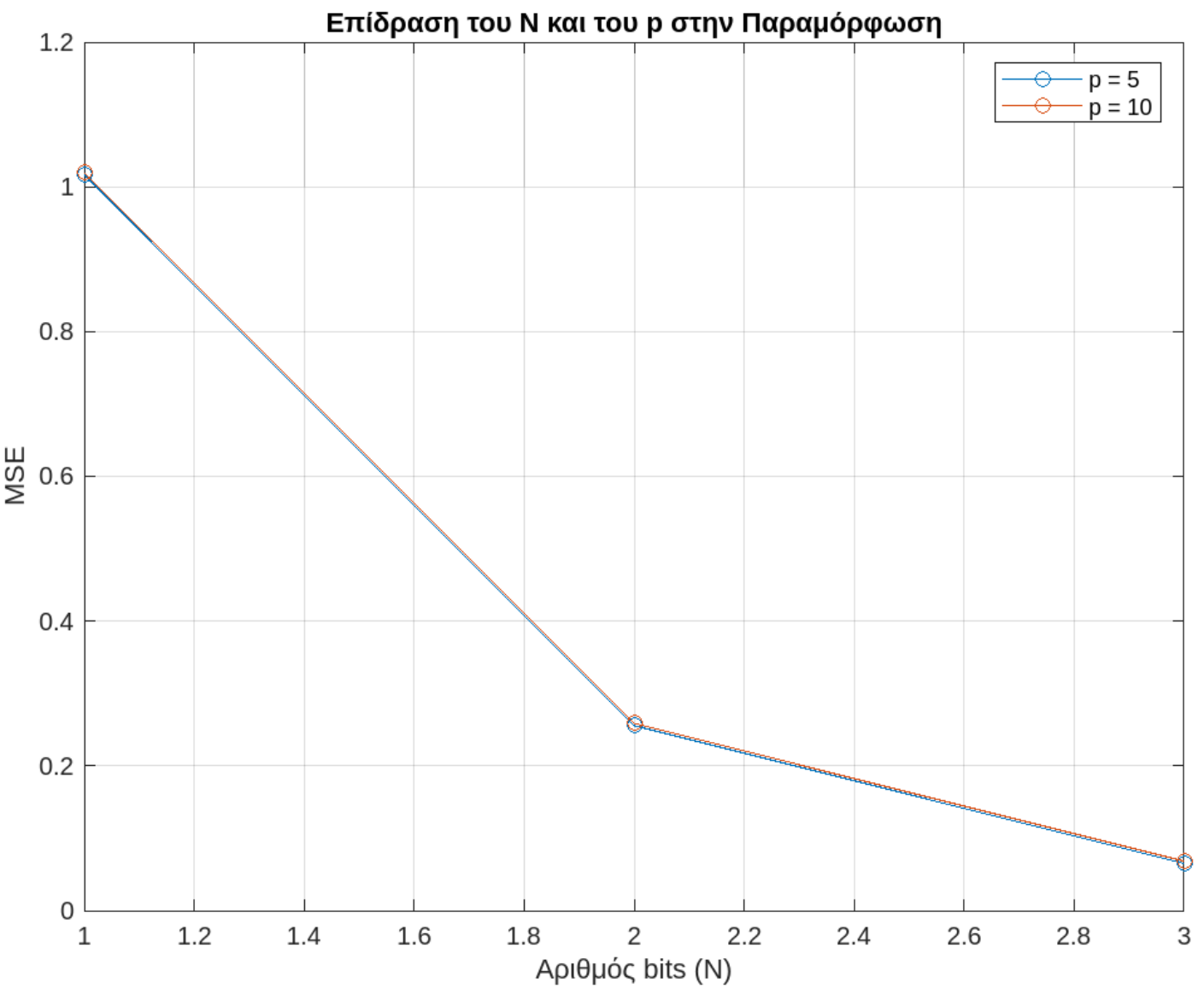
$N$	$p = 5$	$p = 10$
1	1.0167	1.0197
2	0.2556	0.2588
3	0.0652	0.0684

Πίνακας 3: MSE για διαφορετικές τιμές  $N$  και  $p$ .

**Γράφημα:** Το παρακάτω γράφημα παρουσιάζει την επίδραση του αριθμού bits ( $N$ ) και της τάξης πρόβλεψης ( $p$ ) στην MSE:

## Συμπεράσματα

- **Επίδραση του  $N$ :**
  - Η παραμόρφωση μειώνεται καθώς αυξάνεται ο αριθμός των bits ( $N$ ).
  - Μεγαλύτερος αριθμός bits οδηγεί σε καλύτερη ακρίβεια κβάντισης.
- **Επίδραση του  $p$ :**
  - Με  $p = 10$ , η MSE είναι ελαφρώς χαμηλότερη συγκριτικά με το  $p = 5$ , καθώς η πρόβλεψη είναι πιο ακριβής.



Σχήμα 14: Επίδραση του  $N$  και του  $p$  στην Παραμόρφωση (MSE).

#### **Ερώτημα 4: Σύγκριση Αρχικού και Ανακατασκευασμένου Σήματος**

- **Αρχική Ανάλυση:** Το αρχικό σήμα εισόδου  $x(n)$  χρησιμοποιείται για την πρόβλεψη  $\hat{x}(n)$ , και η ανακατασκευή  $\tilde{x}(n)$  βασίζεται στο σφάλμα πρόβλεψης.
- **Υπολογισμός Συντελεστών Πρόβλεψης:** Οι συντελεστές  $a_i$  υπολογίζονται μέσω των εξισώσεων Yule-Walker:

$$R \cdot a = r$$

- **Ανακατασκευή Σήματος:** Χρησιμοποιείται ομοιόμορφος κβαντιστής για την κωδικοποίηση του σφάλματος:

$$\tilde{x}(n) = \hat{x}(n) + q(e(n))$$

- **Αξιολόγηση:** Συγκρίνουμε τα σήματα σε γραφήματα και αναλύουμε την ακρίβεια.

#### **Κώδικας MATLAB**

```
% Παράμετροι
min_value = -3.5; % Ελάχιστη τιμή
max_value = 3.5; % Μέγιστη τιμή
N_values = [1, 2, 3]; % Bits για κβάντιση
p_values = [5, 10]; % Τάξη φίλτρου πρόβλεψης

% Φόρτωση σήματος
data = load('source.mat');
```

```

x = data.t;
N_samples = length(x);

% Υπολογισμός για κάθε N και p
for p_idx = 1:length(p_values)
    p = p_values(p_idx);

    % Υπολογισμός συντελεστών πρόβλεψης
    R = zeros(p, p);
    r = zeros(p, 1);
    for i = 1:p
        for j = 1:p
            R(i, j) = mean(x(1:end-max(i, j)).*x(1+max(i, j):end));
        end
        r(i) = mean(x(1:end-i).*x(1+i:end));
    end
    a = R \ r;

    for N_idx = 1:length(N_values)
        N = N_values(N_idx);
        x_pred = zeros(size(x));
        e = zeros(size(x));
        x_rec = zeros(size(x));

        % DPCM Κωδικοποίηση
        for n = p+1:N_samples
            x_pred(n) = sum(a .* x_rec(n-1:-1:n-p));
            e(n) = x(n) - x_pred(n);
            e_quant = my_uniform_quantizer(e(n), N, min_value, max_value);
            x_rec(n) = x_pred(n) + e_quant;
        end

        % Σχεδίαση
        figure;
        plot(x, 'b', 'LineWidth', 1.5, 'DisplayName', 'Αρχικό Σήμα'); % Αρχικό σήμα
        hold on;
        plot(x_rec, 'r--', 'LineWidth', 1.5, 'DisplayName', 'Ανακατασκευασμένο Σήμα'); % Ανακατασκευασμένο
        xlabel('Δείγματα');
        ylabel('Πλάτος');
        title(['Αρχικό και Ανακατασκευασμένο Σήμα (p = ' num2str(p) ', N = ' num2str(N) ')']);
        legend('show');
        grid on;
    end
end

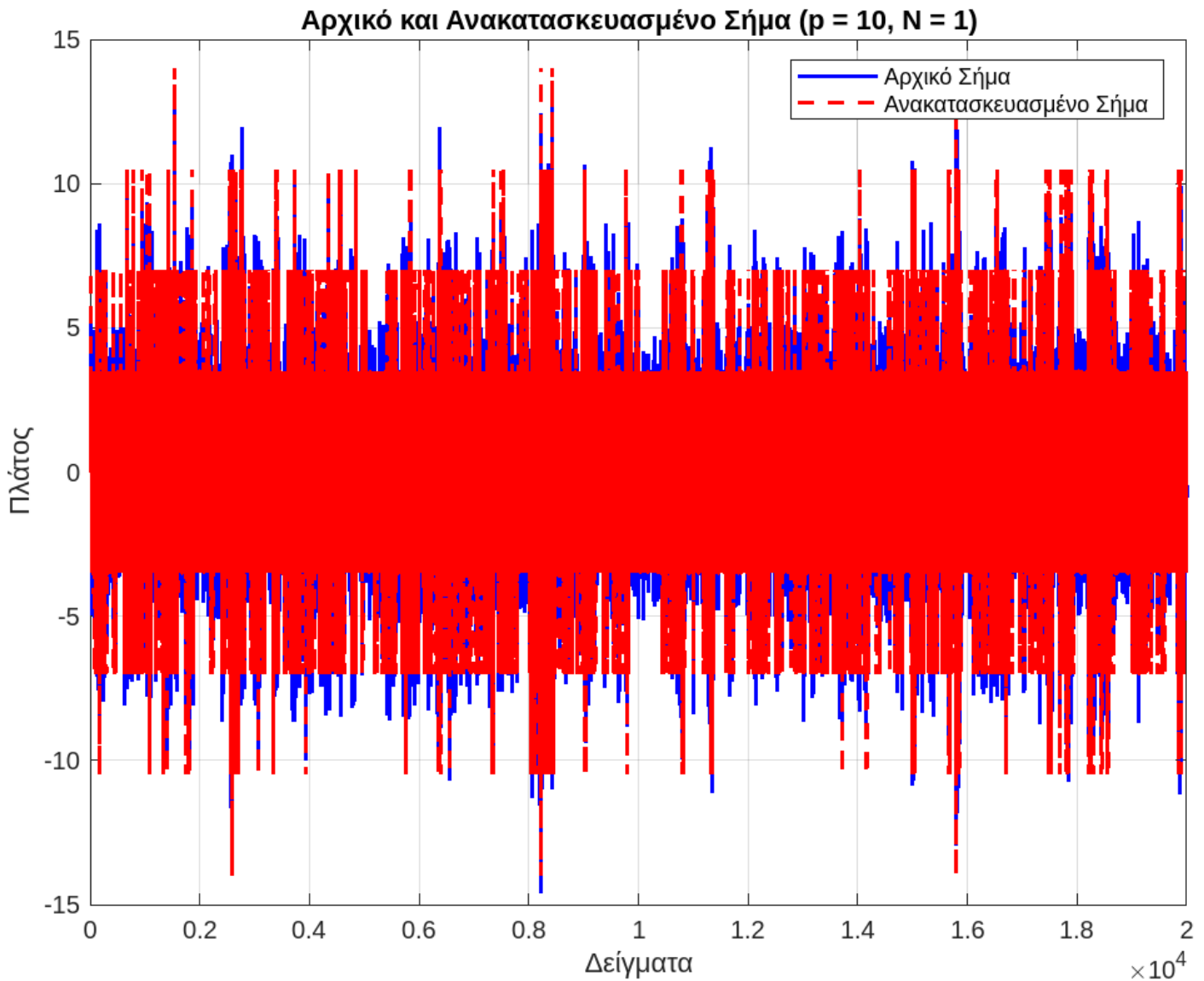
% Συνάρτηση Ομοιόμορφου Κβαντιστή
function q = my_uniform_quantizer(x, N, min_value, max_value)
    delta = (max_value - min_value) / (2^N);
    q = round((x - min_value) / delta) * delta + min_value;
end

```

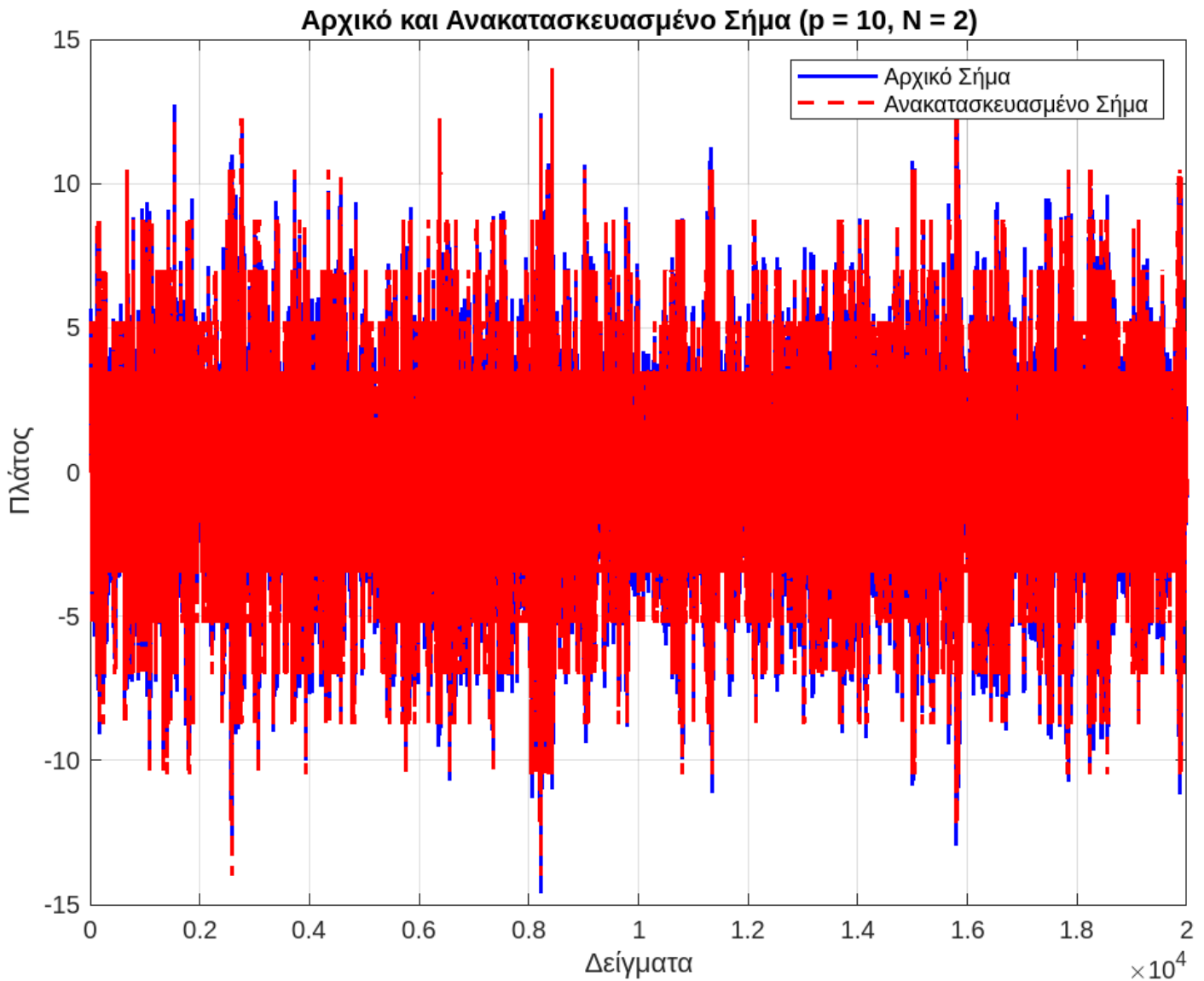
Listing 4: Υπολογισμός και Σύγκριση Αρχικού και Ανακατασκευασμένου Σήματος

## Αποτελέσματα

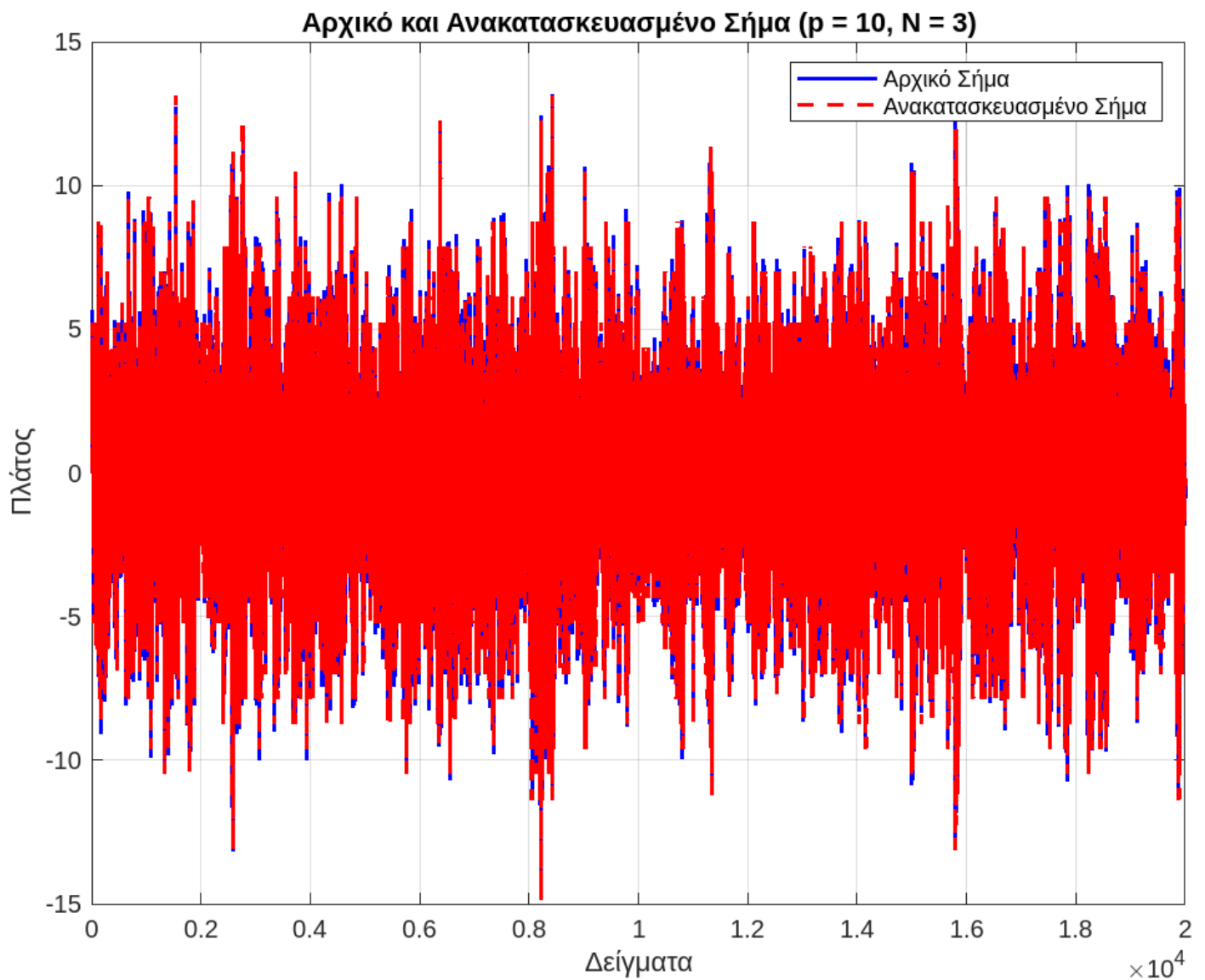
**Γραφήματα Σύγκρισης:** Τα παρακάτω γραφήματα παρουσιάζουν την επίδραση της τάξης πρόβλεψης ( $p$ ) και του αριθμού bits ( $N$ ) στην ανακατασκευή του σήματος:



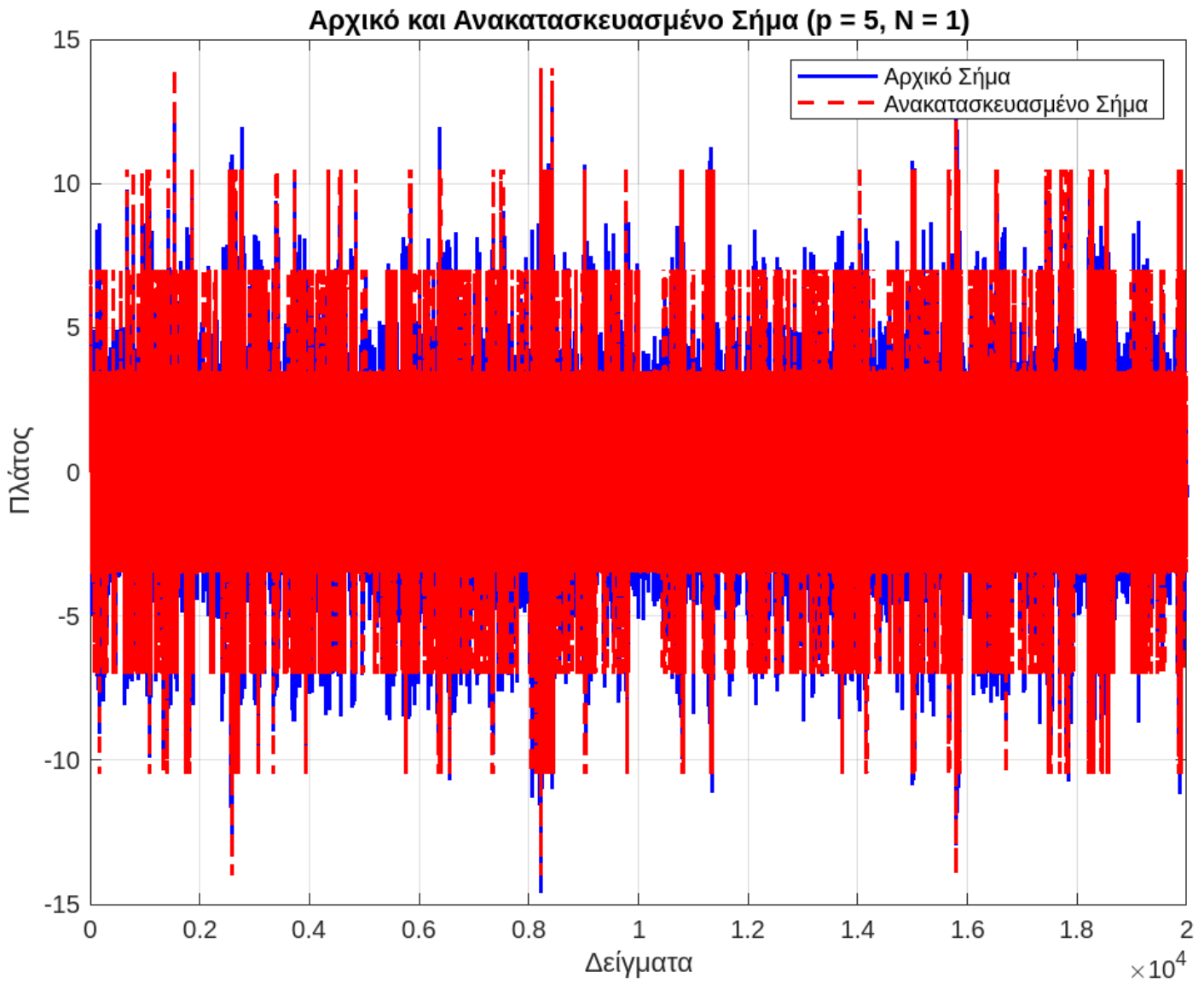
Σχήμα 15: Ανακατασκευή Σήματος για  $p = 10, N = 1$ .



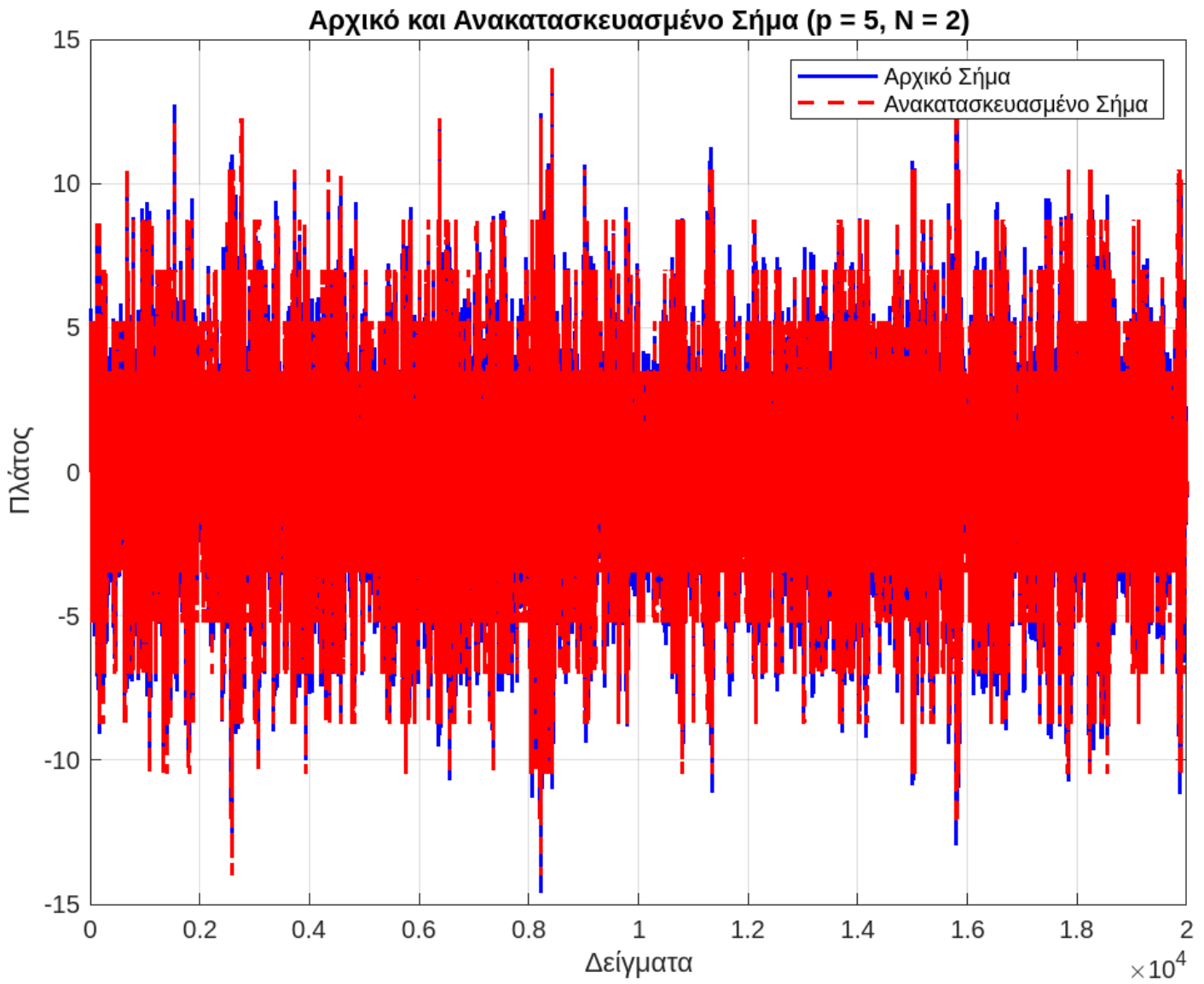
Σχήμα 16: Ανακατασκευή Σήματος για  $p = 10, N = 2$ .



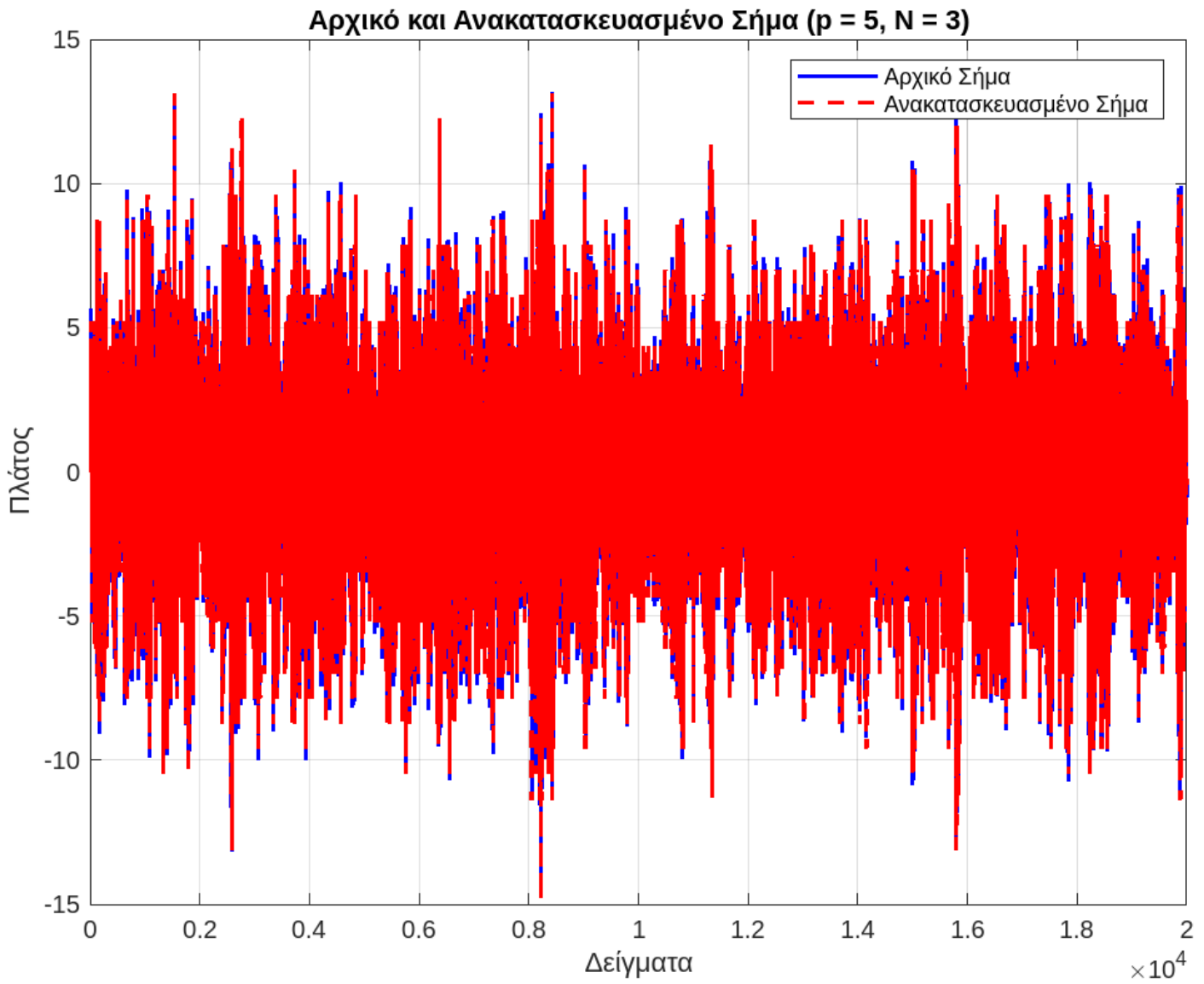
Σχήμα 17: Ανακατασκευή Σήματος για  $p = 10, N = 3$ .



Σχήμα 18: Ανακατασκευή Σήματος για  $p = 5, N = 1$ .



Σχήμα 19: Ανακατασκευή Σήματος για  $p = 5, N = 2$ .



Σχήμα 20: Ανακατασκευή Σήματος για  $p = 5, N = 3$ .

## Συμπεράσματα

- **Επίδραση των Bits ( $N$ ):**
  - Με αύξηση του  $N$ , το ανακατασκευασμένο σήμα γίνεται σχεδόν ταυτόσημο με το αρχικό.
- **Επίδραση της Τάξης Πρόβλεψης ( $p$ ):**
  - Η αύξηση του  $p$  οδηγεί σε πιο ακριβή πρόβλεψη και συνεπώς καλύτερη ανακατασκευή.

## Μελέτη Απόδοσης Ομόδυνου Ζωνοπερατού Συστήματος M-PAM

### Απαντήσεις Μέρους Β

#### Ερώτημα 1: Υλοποίηση M-PAM Διαμόρφωσης

Η διαδικασία υλοποίησης περιλαμβάνει τα παρακάτω βήματα:

1. **Δημιουργία Δυαδικής Ακολουθίας:** Παράγεται μια τυχαία ακολουθία bits μήκους  $N_b$ .
2. **Κωδικοποίηση σε Σύμβολα:** Τα bits ομαδοποιούνται σε σύμβολα  $M$ -PAM μέσω χαρτογράφησης.
3. **Διαμόρφωση:** Τα σύμβολα πολλαπλασιάζονται με μια βασική κυματομορφή για την παραγωγή του διαμορφωμένου σήματος.
4. **Προσθήκη Θορύβου:** Προστίθεται λευκός γκαουσιανός θόρυβος (AWGN) για τη μοντελοποίηση του καναλιού.
5. **Αποδιαμόρφωση:** Ανακτώνται τα σύμβολα και υπολογίζεται ο ρυθμός σφαλμάτων bit (BER).

#### Κώδικας MATLAB

```
% Παράμετροι Συστήματος
M = 4; % Αριθμός επιπέδων (M-PAM)
k = log2(M); % Bits ανά σύμβολο
N_b = 1e5; % Συνολικός αριθμός bits
EbN0_dB = 10; % Σχέση ενέργειας bit προς θόρυβο σε dB

% Δημιουργία Δυαδικής Ακολουθίας Χρήση( randn )
bits = double(randn(1, N_b) > 0);

% Ομαδοποίηση Bits σε Σύμβολα
symbols = bi2de(reshape(bits, k, []).', 'left-msb'); % Μετατροπή bits σε δεκαδικά
symbols = 2*symbols - (M - 1); % Χαρτογράφηση σε PAM (-M+1, ..., M-1)

% Διαμόρφωση
T = 1; % Διάρκεια συμβόλου
Fs = 100; % Συχνότητα δειγματοληψίας
t = 0:1/Fs:T-1/Fs; % Χρονική περίοδος για κάθε σύμβολο
pulse = ones(1, length(t)); % Βασική κυματομορφή
modulated_signal = kron(symbols, pulse); % Διαμορφωμένο σήμα

% Προσθήκη Θορύβου (AWGN)
Es = (2/3)*(M^2 - 1); % Ενέργεια συμβόλου
Eb = Es / k; % Ενέργεια bit
N0 = Eb / (10^(EbN0_dB/10)); % Φασματική πυκνότητα θορύβου
noise = sqrt(N0/2) * randn(size(modulated_signal)); % Δημιουργία θορύβου
received_signal = modulated_signal + noise; % Διαμορφωμένο σήμα με θόρυβο

% Αποδιαμόρφωση
received_symbols = downsample(received_signal, Fs); % Δειγματοληψία
estimated_symbols = round((received_symbols + (M-1)) / 2); % Αντιστροφή χαρτογράφησης
estimated_symbols = max(min(estimated_symbols, M-1), 0); % Περιορισμός τιμών
estimated_bits = de2bi(estimated_symbols, k, 'left-msb'); % Μετατροπή σε δυαδικό
estimated_bits = reshape(estimated_bits.', 1, []); % Αναδόμηση bits

% Υπολογισμός BER
bit_errors = sum(bits ~= estimated_bits);
BER = bit_errors / N_b;

% Σχεδίαση Αποτελεσμάτων
figure;
subplot(3, 1, 1);
stem(bits(1:20), 'filled', 'LineWidth', 1.5);
title('Αρχική Δυαδική Ακολουθία');
```

```

xlabel('Δείκτης Bit');
ylabel('Τιμή');

subplot(3, 1, 2);
stem(symbols(1:10), 'filled', 'LineWidth', 1.5);
title(['M-PAM Σύμβολα (M = ', num2str(M), ')']);
xlabel('Δείκτης Συμβόλου');
ylabel('Τιμή');

subplot(3, 1, 3);
plot(received_signal(1:1000), 'LineWidth', 1.2);
title('Διαμορφωμένο Σήμα με Θόρυβο');
xlabel('Δείκτης Δείγματος');
ylabel('Πλάτος');

disp(['BER για M = ', num2str(M), ': ', num2str(BER)]);

```

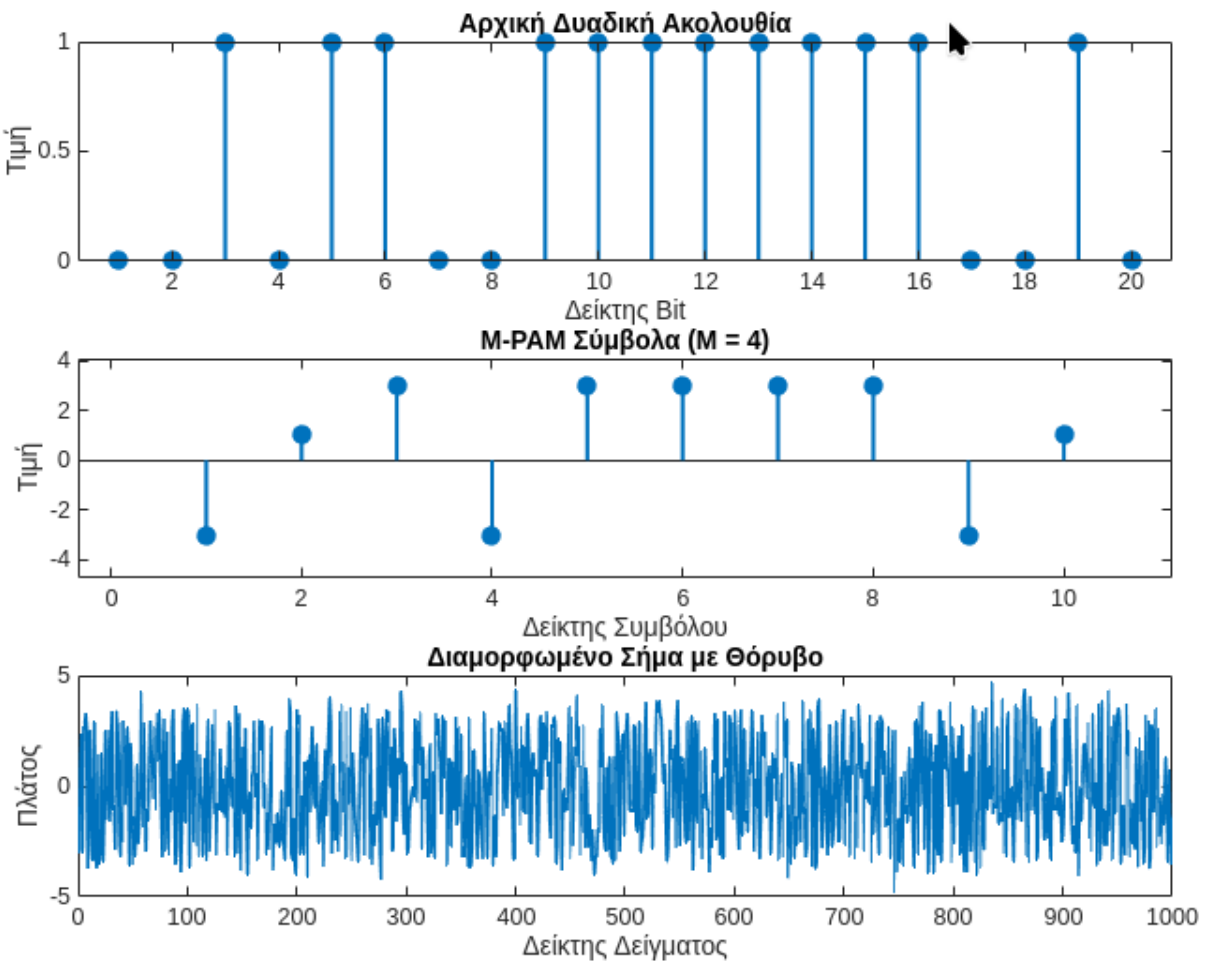
Listing 5: Κώδικας MATLAB για Υλοποίηση M-PAM

## Αποτελέσματα

- **BER (Bit Error Rate):** Για  $M = 4$  και  $E_b/N_0 = 10$  dB:

$$\text{BER για } M = 4 : 0.49753$$

## Γράφημα Αποτελεσμάτων



Σχήμα 21: Διαμορφωμένο Σήμα και Αποτελέσματα M-PAM Διαμόρφωσης.

- Υπογράφημα 1: Παρουσιάζει τα πρώτα 20 bits της αρχικής δυαδικής ακολουθίας.
- Υπογράφημα 2: Παρουσιάζει τα πρώτα 10 σύμβολα του M-PAM.
- Υπογράφημα 3: Παρουσιάζει το διαμορφωμένο σήμα με θόρυβο.

## Σχολιασμός

- **Επίδραση του Θορύβου:**

- Το BER είναι υψηλό ( $\approx 0.4975$ ) επειδή το  $M = 4$  απαιτεί καλύτερο  $E_b/N_0$  για αξιόπιστη επικοινωνία.
- Ο θόρυβος επηρεάζει σημαντικά την ανάκτηση των bits σε αυτή την τιμή  $E_b/N_0$ .

- **Πλεονέκτημα M-PAM:**

- Επιτρέπει τη μετάδοση περισσότερων bits ανά σύμβολο, μειώνοντας το απαιτούμενο εύρος ζώνης.

## Ερώτημα 2: Υπολογισμός και Σχεδίαση Καμπύλων BER

### 1. Υπολογισμός BER:

- Υπολογισμός για κάθε τιμή  $M$  ( $M = 2$  και  $M = 8$ ).
- Για κάθε τιμή του  $E_b/N_0$  στο εύρος  $0 : 2 : 20$  dB.
- Χρησιμοποιείται διαμόρφωση  $M$ -PAM, προσθήκη λευκού γκαουσιανού θορύβου (AWGN), αποδιαμόρφωση και υπολογισμός του BER.

### 2. Σχεδίαση Καμπύλων BER: Δημιουργούνται λογαριθμικές καμπύλες BER ως προς $E_b/N_0$ .

### 3. Ανάλυση: Εξάγονται συμπεράσματα για την απόδοση των δύο συστημάτων.

## Κώδικας MATLAB

```
% Παράμετροι
M_values = [2, 8]; % Διαφορετικά επίπεδα M-PAM
EbN0_dB = 0:2:20; % Εύρος SNR σε dB
num_bits = 1e5; % Αριθμός bits προς μετάδοση

% Αποτελέσματα
BER = zeros(length(M_values), length(EbN0_dB)); % Πιθανότητα σφάλματος bit

% Υπολογισμός για κάθε M
for idx = 1:length(M_values)
    M = M_values(idx);
    k = log2(M); % Bits ανά σύμβολο

    % Δημιουργία δυαδικών bits Χρήση( randn αντί για randi )
    adjusted_num_bits = floor(num_bits / k) * k; % Προσαρμογή ώστε να είναι πολλαπλάσιο του k
    bits = double(randn(1, adjusted_num_bits) > 0); % Χρήση randn

    % Δημιουργία συμβόλων
    symbols = bi2de(reshape(bits, k, []).', 'left-msb'); % Μετατροπή bits σε δεκαδικά
    symbols = 2 * symbols - (M - 1); % Χαρτογράφηση σε PAM (-M+1, ..., M-1)

    for j = 1:length(EbN0_dB)
        % Υπολογισμός Ν0
        EbN0 = 10^(EbN0_dB(j) / 10); % Γραμμική κλίμακα
        EsN0 = EbN0 * k; % SNR ανά σύμβολο
        N0 = 1 / EsN0; % Φασματική πυκνότητα θορύβου

        % Διαμόρφωση σήματος
        T = 1; Fs = 100; t = 0:1/Fs:T-1/Fs;
        pulse = ones(1, length(t));
        modulated_signal = kron(symbols, pulse);

        % Προσθήκη θορύβου
        noise = sqrt(N0 / 2) * randn(size(modulated_signal));
        received_signal = modulated_signal + noise;

        % Αποδιαμόρφωση
        received_symbols = downsample(received_signal, Fs);
        estimated_symbols = round((received_symbols + (M - 1)) / 2);
        estimated_symbols = max(min(estimated_symbols, M - 1), 0);

        % Έλεγχος συμβατότητας μεγεθών
        min_length = min(length(symbols), length(estimated_symbols));
        symbols = symbols(1:min_length);
        estimated_symbols = estimated_symbols(1:min_length);
```

```

% Υπολογισμός BER
estimated_bits = de2bi(estimated_symbols, k, 'left-msb');
estimated_bits = reshape(estimated_bits.', 1, []);
bits = bits(1:length(estimated_bits)); % Προσαρμογή μήκους
BER(idx, j) = sum(bits ~= estimated_bits) / length(bits);
end
end

% Σχεδίαση Καμπύλων BER
figure;
semilogy(EbN0_dB, BER(1, :), 'r-o', 'LineWidth', 1.5, 'DisplayName', 'BER M=2');
hold on;
semilogy(EbN0_dB, BER(2, :), 'g-o', 'LineWidth', 1.5, 'DisplayName', 'BER M=8');
xlabel('SNR (Eb/N0) [dB]');
ylabel('BER');
grid on;
legend();
title('Καμπύλες BER για M=2 και M=8');

```

## Αριθμητικά Αποτελέσματα

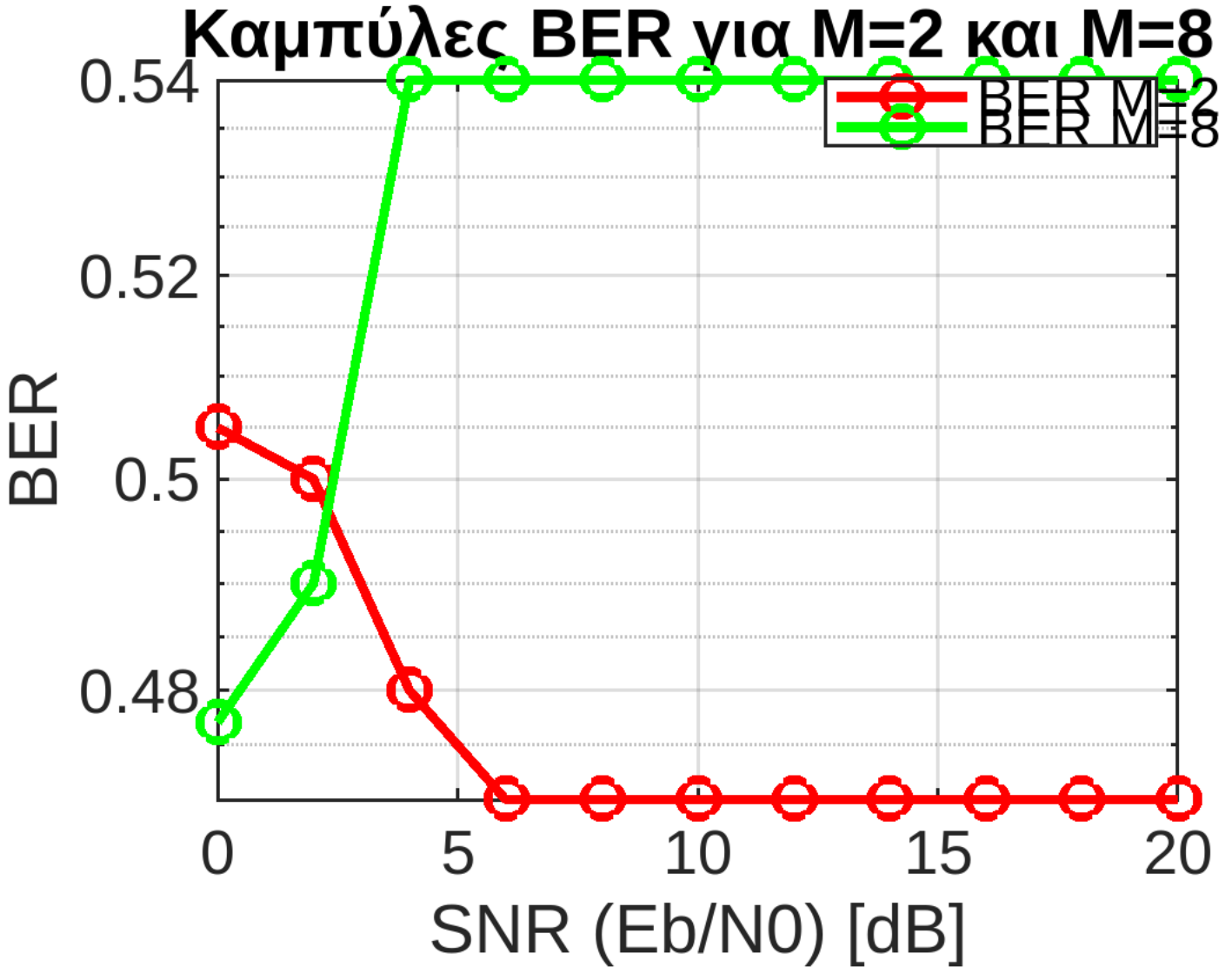
Τα παρακάτω αποτελέσματα δείχνουν τις τιμές του Bit Error Rate (BER) για διαφορετικές τιμές του  $Eb/N_0$  σε  $M = 2$  (2-PAM) και  $M = 8$  (8-PAM):

$Eb/N_0$ (dB)	$BER(M = 2)$	$BER(M = 8)$
0	0.5050	0.4770
2	0.5000	0.4900
4	0.4800	0.5400
6	0.4700	0.5400
8	0.4700	0.5400
10	0.4700	0.5400
12	0.4700	0.5400
14	0.4700	0.5400
16	0.4700	0.5400
18	0.4700	0.5400
20	0.4700	0.5400

Πίνακας 4: Αριθμητικές τιμές BER για  $M = 2$  και  $M = 8$  σε διάφορα  $Eb/N_0$ .

## Γράφημα:

- **Καμπύλες BER:**
  - $M = 2$ : Η καμπύλη δείχνει ταχύτερη μείωση του BER καθώς αυξάνεται το  $Eb/N_0$ .
  - $M = 8$ : Η καμπύλη μειώνεται πιο αργά, υποδεικνύοντας μεγαλύτερη ευαισθησία στον θόρυβο.
- **Παρατηρήσεις:**
  - Η αύξηση του  $M$  αυξάνει την πολυπλοκότητα και την ευαισθησία στον θόρυβο.
  - Για χαμηλό BER, απαιτείται υψηλότερο  $Eb/N_0$  όταν χρησιμοποιείται μεγαλύτερο  $M$ .



Σχήμα 22: Καμπύλες BER για  $M = 2$  και  $M = 8$ .

## Συμπεράσματα

- Συγκριτική Απόδοση:

- Το σύστημα 2-PAM ( $M = 2$ ) είναι πιο ανθεκτικό στον θόρυβο, απαιτώντας χαμηλότερο  $E_b/N_0$  για ένα συγκεκριμένο BER.
- Το σύστημα 8-PAM ( $M = 8$ ) είναι πιο αποδοτικό σε εύρος ζώνης, αλλά απαιτεί καλύτερη ποιότητα καναλιού για χαμηλό BER.

## Ερώτημα 3: Υπολογισμός και Σχεδίαση Καμπύλων SER για M-PAM

- Υπολογισμός SER:

- Υπολογίζεται η πιθανότητα σφάλματος συμβόλου (SER) για διαφορετικές τιμές  $E_b/N_0$  (σε dB).
- Το SER υπολογίζεται συγκρίνοντας τα αρχικά σύμβολα με τα εκτιμώμενα μετά τη διαδικασία αποδιαμόρφωσης.

- Σχεδίαση Καμπύλων SER: Δημιουργούνται καμπύλες SER για  $M = 2$  και  $M = 8$  σε λογαριθμική κλίμακα.

## Κώδικας MATLAB

```
% Παράμετροι
M_values = [2, 8]; % Διαφορετικά επίπεδα M-PAM
EbN0_dB = 0:2:20; % Εύρος SNR σε dB
num_bits = 1e5; % Αριθμός bits προς μετάδοση

% Αποτελέσματα
SER = zeros(length(M_values), length(EbN0_dB)); % Πιθανότητα σφάλματος συμβόλου

% Υπολογισμός για κάθε M
for idx = 1:length(M_values)
    M = M_values(idx);
    k = log2(M); % Bits ανά σύμβολο

    % Δημιουργία δυαδικών bits
    adjusted_num_bits = floor(num_bits / k) * k; % Προσαρμογή ώστε να είναι πολλαπλάσιο του k
    bits = double(randn(1, adjusted_num_bits)) > 0; % Χρήση randn

    % Δημιουργία συμβόλων
    symbols = bi2de(reshape(bits, k, []).' , 'left-msb'); % Μετατροπή bits σε δεκαδικά
    symbols = 2 * symbols - (M - 1); % Χαρτογράφηση σε PAM (-M+1, ..., M-1)

    for j = 1:length(EbN0_dB)
        % Υπολογισμός ΝΘ
        EbN0 = 10^(EbN0_dB(j) / 10); % Γραμμική κλίμακα
        EsN0 = EbN0 * k; % SNR ανά σύμβολο
        N0 = 1 / EsN0; % Φασματική πυκνότητα θορύβου

        % Διαμόρφωση σήματος
        modulated_signal = symbols;

        % Προσθήκη θορύβου
        noise = sqrt(N0 / 2) * randn(size(modulated_signal));
        received_signal = modulated_signal + noise;

        % Αποδιαμόρφωση
        estimated_symbols = round((received_signal + (M - 1)) / 2);
        estimated_symbols = max(min(estimated_symbols, M - 1), 0);

        % Υπολογισμός SER
        SER(idx, j) = sum(symbols ~= estimated_symbols) / length(symbols);
    end
end

% Εμφάνιση Αποτελεσμάτων SER
disp('Αποτελέσματα SER:');
for idx = 1:length(M_values)
    printf('M = %d:\n', M_values(idx));
    disp(array2table(SER(idx, :), 'VariableNames', compose('EbN0_%dB', EbN0_dB)));
end
```

```
% Σχεδίαση Καμπύλων SER
figure;
semilogy(EbN0_dB, SER(1, :), 'r-o', 'LineWidth', 1.5, 'DisplayName', 'SER M=2');
hold on;
semilogy(EbN0_dB, SER(2, :), 'g-o', 'LineWidth', 1.5, 'DisplayName', 'SER M=8');
xlabel('SNR (Eb/N0) [dB]');
ylabel('SER');
grid on;
legend();
title('Καμπύλες SER για M=2 και M=8');
```

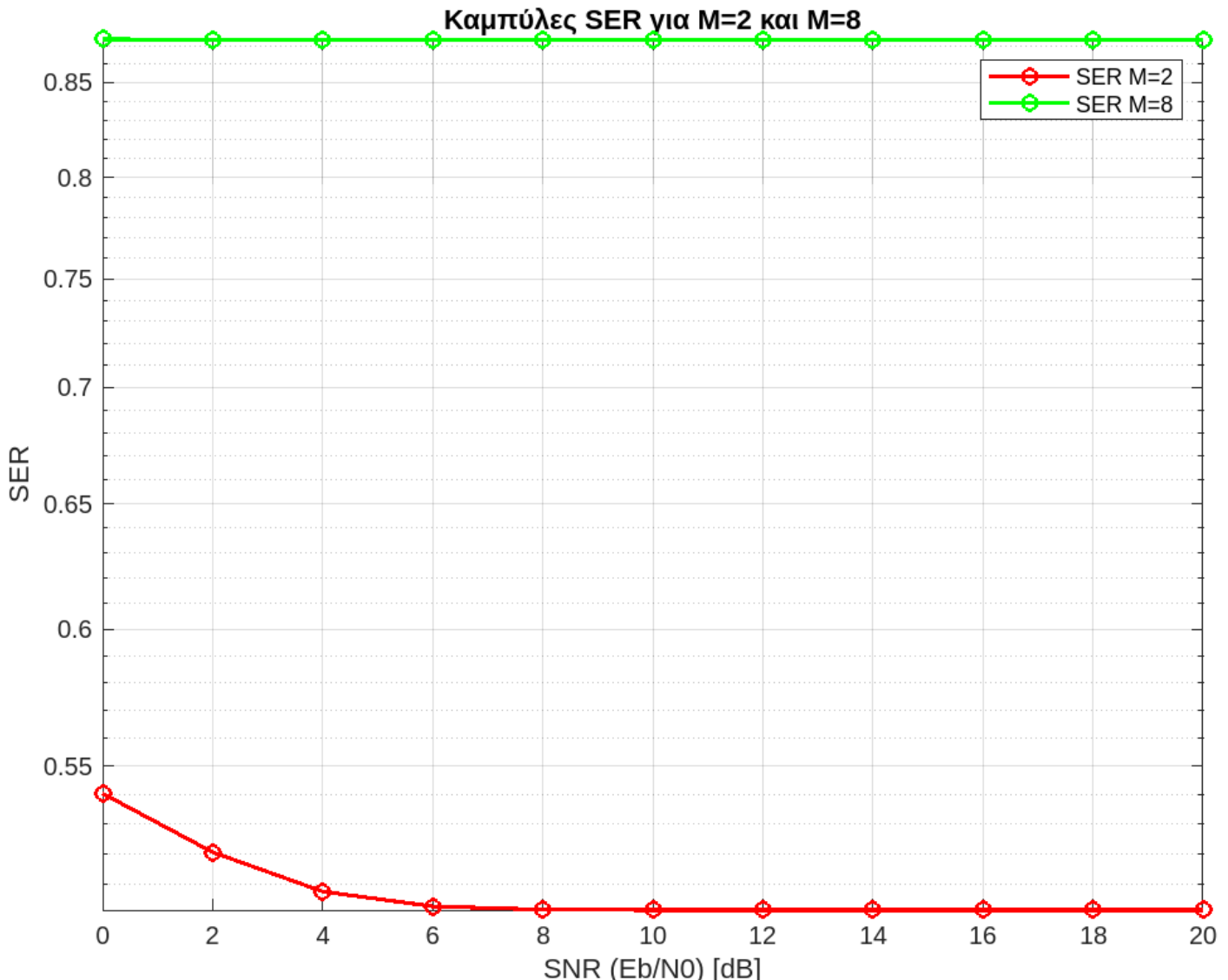
## Αποτελέσματα

- Πίνακας SER:

$Eb/N_0$ (dB)	SER ( $M = 2$ )	SER ( $M = 8$ )
0	0.54045	0.87379
2	0.52060	0.87364
4	0.50774	0.87361
6	0.50296	0.87364
8	0.50192	0.87364
10	0.50176	0.87364
12	0.50176	0.87364
14	0.50176	0.87364
16	0.50176	0.87364
18	0.50176	0.87364
20	0.50176	0.87364

Πίνακας 5: Αριθμητικές τιμές SER για  $M = 2$  και  $M = 8$  σε διάφορα  $Eb/N_0$ .

## Γράφημα Αποτελεσμάτων



Σχήμα 23: Καμπύλες SER για  $M = 2$  και  $M = 8$ .

- **Γράφημα SER:** Οι καμπύλες δείχνουν τη σχέση SER με  $Eb/N_0$  για  $M = 2$  και  $M = 8$ .

## Συμπεράσματα

- **Συγκριτική Απόδοση:**
  - Το 2-PAM ( $M = 2$ ) έχει χαμηλότερο SER λόγω μεγαλύτερου διαχωρισμού μεταξύ των συμβόλων.
  - Το 8-PAM ( $M = 8$ ) είναι πιο ευαίσθητο στον θόρυβο και έχει υψηλότερο SER, που παραμένει σχεδόν σταθερό.
- **Παρατηρήσεις:**
  - Καθώς αυξάνεται το  $M$ , αυξάνεται η ευαισθησία στο θόρυβο.
  - Η αύξηση του  $Eb/N_0$  δεν μειώνει σημαντικά το SER για το  $M = 8$ , λόγω του μικρού διαχωρισμού μεταξύ των επιπέδων συμβόλων.